

ภาคผนวก

## ภาคผนวก ก วิธีการวิเคราะห์

### ก.1 วิธีการวิเคราะห์สมบัติทางเคมีกายภาพของไคโตซาน

#### ก.1.1 ระดับการกำจัดหมู่อะซิติลของไคโตซาน

วิเคราะห์ระดับการกำจัดหมู่อะซิติลของไคโตซาน โดยวิธี colloid titration (มงคล  
สุวรรณาสินินทร์, 2544)

#### เครื่องมือ อุปกรณ์ และสารเคมี

1. ขวดรูปชมพู่ 25 มิลลิลิตร และ 100 มิลลิลิตร
2. กระบอกตวง 50 มิลลิลิตร
3. บิวเรต 25 มิลลิลิตร
4. ปิเปต 5 มิลลิลิตร
5. หลอดหยด
6. ขวดปริมาตร 25 มิลลิลิตร
7. สารละลาย 1-n- Hexadecylpyridinium Chloride Monohydrate (CPC) (12.5 มิลลิกรัม ในสารละลายกรดอะซิติก 0.1 M 25 มิลลิลิตร หรือ ประมาณ 0.05% w/v)
8. สารละลายเกลือ potassium ของ polyvinyl sulfate (PVSK) (25 มิลลิกรัม ในน้ำ 50 มิลลิลิตร หรือ ประมาณ 1/400 N)
9. สารละลายอินดิเคเตอร์ 0.1% toluidine blue
10. สารละลาย Chitosan ตัวอย่าง (ประมาณ 10 มิลลิกรัม ในสารละลายกรดอะซิติก 0.1 M 25 มิลลิลิตร หรือประมาณ 0.04% w/v)

#### วิธีการวิเคราะห์

1. การเตรียม blank

ปิเปตสารละลายกรดอะซิติก 0.1 M มา 25 มิลลิลิตร ลงในขวดรูปชมพู่ขนาด 25 มิลลิลิตร



หยด 0.1 % toluidine blue 1-2 หยด เพื่อเป็นอินดิเคเตอร์ได้สารละลายสีฟ้า



ไทเทรตด้วย PVSK จนสารละลายเปลี่ยนเป็นสีม่วงแดงและมีตะกอน



บันทึกปริมาตร PVSK ที่ใช้ในการไทเทรต และไทเทรตซ้ำอีก 2 ครั้ง

## 2. หาค่าความเข้มข้นของ PVSK

ปิเปตสารละลาย 1-n-Hexadecylpyridinium Chloride Monohydrate 5 มิลลิลิตร

ลงในขวดรูปชมพู่ขนาด 25 มิลลิลิตร



หยด 0.1 % toluidine blue 1-2 หยด เพื่อเป็นอินดิเคเตอร์ได้สารละลายสีฟ้า



ไทเทรตด้วย PVSK จนสารละลายเปลี่ยนเป็นสีม่วงแดงและมีตะกอน



บันทึกปริมาตร PVSK ที่ใช้ในการไทเทรต และไทเทรตซ้ำอีก 2 ครั้ง

คำนวณความเข้มข้นของ PVSK จากสูตร

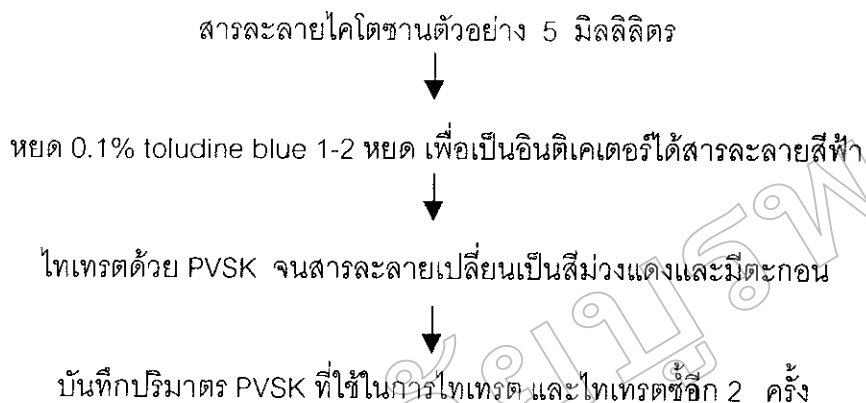
$$N = 50 \times C' / 358 D$$

เมื่อ N คือ ความเข้มข้นของ PVSK เป็น(N)

C' คือ ความเข้มข้นของ 1-n-Hexadecylpyridinium Chloride Monohydrate เป็น(%)

D คือ ผลต่างของปริมาตรที่ได้จากการไทเทรต 1-n-Hexadecylpyridinium Chloride Monohydrate และ Blank

### 3. การวิเคราะห์ระดับการกำจัดหมู่อะซิติล



#### วิธีการคำนวณ

ระดับการกำจัดหมู่อะซิติลของโคโคซาน แสดงได้ดังสมการที่ ก.1

$$\% DA = 100 \times (50C - 161ND) / (42ND + 50C)$$

เมื่อ DA คือ ระดับอะซิติลของโคโคซาน (%)

N คือ ความเข้มข้นของ PVSK เป็น (N)

D คือ ผลต่างของปริมาตรที่ได้จากการไทเทรตโคโคซาน และ Blank

C คือ ความเข้มข้นของโคโคซานเป็นเปอร์เซ็นต์

$$\%DD = 100 - \%DA \quad (\text{ก.1})$$

#### ก.1.2 น้ำหนักโมเลกุลของโคโคซาน

วิเคราะห์หาน้ำหนักโมเลกุลของโคโคซาน โดยวิธี intrinsic viscosity (วิภาวี ไอน่วน,

2544)

#### เครื่องมือ อุปกรณ์ และสารเคมี

1. เครื่องวัดความหนืด
2. เครื่องชั่งละเอียด
3. เครื่องกวนแม่เหล็ก
4. จุกยาง
5. บิวเรต
6. กรดอะซิติก
7. โซเดียมคลอไรด์

## วิธีการวิเคราะห์

### 1. การเตรียม stock solution ของโคโคซาน

1.1 เตรียมสารละลายประกอบด้วยของผสมกรดอะซิติก 0.1M และโซเดียมคลอไรด์ 0.2 M

1.2 เตรียม Stock solution ของโคโคซานเข้มข้น  $7.6 \times 10^{-3}$  กรัมต่อมิลลิลิตร ปริมาตร 50 มิลลิลิตร ( $C_1$ ) โดยการชั่งผงโคโคซานมา 0.038 กรัม ละลายในกรดอะซิติก 1 M 5 มิลลิลิตร เติมน้ำกลั่น 30 มิลลิลิตร แล้วคนด้วยเครื่องกวนแม่เหล็กเป็นเวลา 1 คืน จากนั้นเติมโซเดียมคลอไรด์ 1M 10 มิลลิลิตร แล้วปรับปริมาตรรวมให้เป็น 50 มิลลิลิตร แล้วคนต่อไปอีกเป็นเวลา 1 คืน

1.3 นำ stock solution มาทำการเจือจางด้วยตัวทำละลายผสมในข้อ 1 ให้ได้ความเข้มข้น  $2.53 \times 10^{-4}$  กรัมต่อมิลลิลิตร ( $C_2$ ) โดยปิเปต stock solution มา 5 มิลลิลิตร เติมตัวทำละลายผสมในข้อ 1 ปริมาตร 10 มิลลิลิตร (ปริมาตรรวมเป็น 15 มิลลิลิตร)

### 2. การวัดความหนืด

2.1 ปิเปตสารละลายผสม 3 มิลลิลิตร เติมลงใน Ostwald viscometer ( $C_0$ ) ที่ควบคุมอุณหภูมิ 25 องศาเซลเซียส ใช้จุกยางดูดสารละลายขึ้นมาให้อยู่เหนือจุด a เล็กน้อย ปล่อยจุกยาง บันทึกเวลาที่สารละลายเคลื่อนจาก ถึง 3 ครั้ง นำมาหาค่าเฉลี่ย

2.2 ปิเปตสารละลาย  $C_1$  ปริมาตร 3 มิลลิลิตร ลงใน Ostwald viscometer ที่ควบคุมอุณหภูมิที่ 25 องศาเซลเซียส แล้วทำการทดลองเหมือนข้อ 1

2.3 เตรียมสารละลายโคโคซานที่ความเข้มข้น  $5.43 \times 10^{-4}$  กรัมต่อลิตร ( $C_2$ ) โดยนำ stock solution ( $C_1$ ) 5 มิลลิลิตร เติมตัวทำละลายผสมปริมาตร 2 มิลลิลิตร ดำเนินการทดลองเหมือนข้อ 1

2.4 เตรียมสารละลายโคโคซานที่ความเข้มข้น  $3.80 \times 10^{-4}$  กรัมต่อลิตร ( $C_3$ ) โดยนำ stock solution ( $C_1$ ) 5 มิลลิลิตร เติมตัวทำละลายผสมปริมาตร 5 มิลลิลิตร ดำเนินการทดลองเหมือนข้อ 1

2.5 ปิเปตสารละลาย  $C_4$  ปริมาตร 3 มิลลิลิตร ลงใน Ostwald viscometer ที่ควบคุมอุณหภูมิที่ 25 องศาเซลเซียส แล้วทำการทดลองเหมือนข้อ 1

2.6 เตรียมสารละลายโคโคซานที่ความเข้มข้น  $1.81 \times 10^{-4}$  กรัมต่อลิตร ( $C_5$ ) โดยนำ stock solution ( $C_1$ ) 5 มิลลิลิตร เติมตัวทำละลายผสมปริมาตร 2 มิลลิลิตร ดำเนินการทดลองเหมือนข้อ 1

2.7 เตรียมสารละลายโคโคซานที่ความเข้มข้น  $1.26 \times 10^4$  กรัมต่อลิตร ( $C_6$ ) โดยนำ stock solution ( $C_1$ ) 5 มิลลิลิตร เติมตัวทำละลายผสมปริมาตร 5 มิลลิลิตร ดำเนินการทดลองเหมือนข้อ 1

2.8 นำข้อมูลที่ได้ไปเขียนกราฟระหว่างความเข้มข้นกับ  $\eta_{sp}/C$  นำจุดตัดแกน y มาคำนวณหามวลโมเลกุล ( $M_v$ )

โดยกำหนดให้ relative viscosity ;  $\eta_r \approx t_{\text{solution}}/t_{\text{solvent}}$

specific viscosity ;  $\eta_{sp} = \eta_r - 1$

intrinsic viscosity ;  $[\eta] = \eta_{sp}/C$  ( $C=0$ )

$t_{\text{solution}}$  และ  $t_{\text{solvent}}$  คือระยะเวลาที่ตัวทำละลายและสารละลายเคลื่อนที่

### วิธีการคำนวณ

น้ำหนักโมเลกุลของโคโคซาน แสดงได้ดังสมการที่ ก.2

$$[\eta] = KM_v^a \quad (\text{ก.2})$$

เมื่อ  $M_v$  คือ น้ำหนักโมเลกุลของโคโคซาน (ดาลตัน)

$[\eta]$  คือ จุดตัดแกน y

K คือ  $1.8 \times 10^{-3}$  กรัมต่อมิลลิลิตร

a คือ 0.93

## ก.2 วิธีการวิเคราะห์สมบัติทางเคมีกายภาพของน้ำทิ้งจากกระบวนการผลิตเต้าหู้แข็ง

### ก.2.1 วิเคราะห์ความขุ่น (Turbidity) โดยวิธีเนฟิโลเมตริก (Nephelometric Method)

คำว่าขุ่น (turbid) หมายถึงน้ำที่มีสารห้อยแขวน ความขุ่นของน้ำเกิดจากการที่น้ำนั้นมีสิ่งห้อยแขวนอยู่ เช่น ดินละเอียด อาจเป็นพวกอินทรีย์สาร อนินทรีย์สาร แพลงตอน และสิ่งมีชีวิตเล็กๆ สารพวกนี้จะทำให้เกิดการกระจัดกระจาย และดูดซึมของแสงแทนที่จะปล่อยให้แสงผ่านไปเป็นเส้นตรง

### วิธีการวิเคราะห์ (สมาคมวิศวกรสิ่งแวดล้อมแห่งประเทศไทย, 2540)

1. ปรับตั้งเครื่องวัดความชื้นตามคู่มือเครื่อง และทำกราฟมาตรฐานจากสารละลายความชื้นมาตรฐานที่เตรียมไว้
2. การวัดความชื้นที่มีค่าต่ำกว่า 40 เอ็นทียู ให้เขย่าตัวอย่างและรอจนฟองอากาศหมด เทตัวอย่างลงในหลอดวัดความชื้น อ่านค่าจากเครื่องมือวัดความชื้น
3. การวัดความชื้นที่มีค่าสูงกว่า 40 เอ็นทียู ให้เจือจางตัวอย่างน้ำ ด้วยน้ำที่ปราศจากความชื้นจนได้ความชื้นไม่เกิน 40 เอ็นทียู และนำไปวัดจากเครื่อง

### วิธีการคำนวณ

$$\text{ความชื้น (เอ็นทียู)} = \frac{Ax(B+C)}{C}$$

A = เอ็นทียู ที่อ่านได้เมื่อเจือจางน้ำตัวอย่าง

B = ปริมาตรของน้ำที่ใช้เจือจาง ลูกบาศก์เซนติเมตร

C = ปริมาตรของตัวอย่างน้ำที่นำมาเจือจาง ลูกบาศก์เซนติเมตร

### ก.2.2 การหาของแข็งแขวนลอย (suspended solids; SS)

ของแข็งแขวนลอย (Suspended solids, SS) เป็นของแข็งแขวนลอยที่สามารถกรองได้ด้วยกระดาษกรองใยแก้ว (Whatman GF/C) เส้นผ่าศูนย์กลาง 1.7 มิลลิเมตร มีหน่วยเป็น มิลลิกรัม ต่อลิตร (สมาคมวิศวกรสิ่งแวดล้อมแห่งประเทศไทย, 2540)

### เครื่องมือ อุปกรณ์ และสารเคมี

1. กระดาษกรองใยแก้ว (Whatman GF/C) เส้นผ่าศูนย์กลาง 1.7 มิลลิเมตร
2. กรวยบุคเนอร์ ความจุ 100 ลูกบาศก์ เซนติเมตร
3. เครื่องดูดอากาศ
4. เตาอบแห้ง
5. โถทำแห้ง (desicator)
6. เครื่องชั่งอย่างละเอียด
7. น้ำกลั่น

### วิธีการวิเคราะห์

1. อบกระดาษกรองให้แห้งที่อุณหภูมิ 103-105 องศาเซลเซียส นาน 1 ชั่วโมง ทิ้งให้เย็นในโถทำแห้งแล้วชั่งน้ำหนักกระดาษกรอง
2. ทำซ้ำในข้อ 1 จนได้น้ำหนักกระดาษกรองคงที่ หรือน้ำหนักเปลี่ยนแปลงน้อยกว่าร้อยละ 4 สมมติว่าเป็น A มิลลิกรัม
3. เลือกปริมาตรน้ำตัวอย่าง ซึ่งจะให้ค่าของแข็งซึ่งได้โดยประมาณอย่างน้อยสุด 2.5 มิลลิกรัม (เพิ่มจากกระดาษกรอง)
4. วางกระดาษกรองลงในกรวยบุคเนอร์ ซึ่งต่อเข้ากับเครื่องดูดอากาศ
5. ใช้น้ำกลั่นฉีดกระดาษกรองให้เปียกและให้ถูกดูดติดแน่นกับกรวยบุคเนอร์
6. กรองตัวอย่างน้ำตามปริมาตรที่ต้องการโดยอาศัยแรงดูดช่วย
7. ใช้น้ำกลั่นฉีดล้างของแข็งที่ติดอยู่ข้างกรวยจนหมดและรอจนกว่าจะแห้ง
8. เปิดเครื่องดูดอากาศ ใช้ปากคีบคีบกระดาษกรองใส่ภาชนะทนไฟ เช่น ถ้วยอะลูมิเนียม หรือกระเจี๊ยบพิลา
9. นำไปอบในตู้อบแห้งที่อุณหภูมิ 103-105 องศาเซลเซียส นาน 1 ชั่วโมง
10. ทิ้งให้เย็นเท่าอุณหภูมิห้องในโถทำแห้ง แล้วชั่งน้ำหนักกระดาษกรองใหม่
11. ทำซ้ำข้อ 9,10 จนชั่งน้ำหนักกระดาษกรองได้ค่าคงที่ หรือน้ำหนักเปลี่ยนแปลงน้อยกว่าร้อยละ 4 สมมติว่าเป็น B มิลลิกรัม

### วิธีการคำนวณ

ของแข็งแขวนลอย มิลลิกรัมต่อลิตร =  $\frac{\text{น้ำหนักที่เพิ่มขึ้น (B-A)} \times 1000}{\text{ลูกบาศก์ เซนติเมตรของตัวอย่างน้ำ}}$

ลูกบาศก์ เซนติเมตรของตัวอย่างน้ำ

### ก.2.3 การหาปริมาณของแข็งละลายได้ทั้งหมด หรือ ทีดีเอส (Total dissolved solids ; TDS)

ทีดีเอส หมายถึง ปริมาณของแข็งที่ละลายน้ำได้ และสามารถไหลผ่านกระดาษกรองใยแก้ว เมื่อกรองปริมาณของแข็งแขวนลอยออก แล้วเอาน้ำใสที่ผ่านกระดาษกรองใยแก้วไประเหย จะหาปริมาณของแข็งละลายได้ มีหน่วยเป็น มิลลิกรัมต่อลิตร

#### เครื่องมือ อุปกรณ์ และสารเคมี

1. จานระเหย (evaporating dish)
2. เครื่องอังน้ำ (steam bath)
3. เตาอบแห้ง

4. โถทำแห้ง (desicator)
5. เครื่องชั่งอย่างละเอียด
6. น้ำกลั่น

#### วิธีการวิเคราะห์

1. กรองของแข็งที่สามารถกรองได้ทิ้งออก หรือใช้น้ำส่วนที่ได้จากการกรองที่เหลือจากการหาปริมาณของแข็งแขวนลอย
2. ชั่งจานระเหยที่นำไปอบที่อุณหภูมิ 103-105 องศาเซลเซียส นาน 1 ชั่วโมง และปล่อยให้เย็นลงในโถทำแห้งมาแล้ว จนได้น้ำหนักคงที่ สมมติว่าเป็น A มิลลิกรัม
3. ตวงน้ำส่วนที่ได้จากการกรอง 50 ลูกบาศก์ เซนติเมตร ใส่ในจานระเหย
4. นำไปตั้งบนเครื่องอังน้ำให้ระเหยจนแห้ง
5. นำจานระเหยที่แห้งไปเข้าเตาอบที่ อุณหภูมิ 103-105 องศาเซลเซียส นาน 1 ชั่วโมง
6. ปล่อยให้เย็นในโถทำแห้งจนถึงอุณหภูมิห้อง
7. ชั่งจานระเหยทันทีที่เย็นเท่าอุณหภูมิห้อง
8. ทำซ้ำในข้อ 5, 6 และ 7 อีกครั้ง ชั่งจนจานระเหยได้น้ำหนักคงที่ หรือน้ำหนักเปลี่ยนแปลงน้อยกว่าร้อยละ 4 สมมติว่าเป็น B มิลลิกรัม

#### วิธีการคำนวณ

$$\text{ปริมาณแข็งละลายทั้งหมด มิลลิกรัมต่อลิตร} = \frac{\text{น้ำหนักที่เพิ่มขึ้น (B-A)} \times 1000}{\text{ลูกบาศก์ เซนติเมตรของตัวอย่างน้ำ}}$$

#### ก.2.4 การหาของแข็งทั้งหมด (Total suspended solids; TSS)

ทีเอสเอส หมายถึง ปริมาณของแข็งที่เหลืออยู่ในภาชนะภายหลังจากการระเหยน้ำออกจากตัวอย่างทั้งหมด แล้วนำไปอบที่ อุณหภูมิ 103-105 องศาเซลเซียส จนน้ำหนักคงที่ ปล่อยให้เย็นในโถทำแห้งแล้วชั่งน้ำหนักของแข็งในภาชนะนั้น จะได้ปริมาณของแข็งหรือสารทั้งหมด มีหน่วยเป็น มิลลิกรัมต่อลิตร

#### เครื่องมือ อุปกรณ์ และสารเคมี

1. จานระเหย (evaporating dish)
2. เครื่องอังน้ำ (steam bath)
3. เตาอบแห้ง
4. โถทำแห้ง (desicator)
5. เครื่องชั่งอย่างละเอียด
6. น้ำกลั่น

### วิธีการวิเคราะห์

1. นำจานระเหยไปอบที่ อุณหภูมิ 103-105 องศาเซลเซียส เป็นเวลา 1 ชั่วโมง ปล่อยให้เย็นในโถทำแห้งแล้วชั่งหาน้ำหนัก สมมติว่าเป็น A มิลลิกรัม
2. เลือกใช้ปริมาตรตัวอย่างน้ำให้เหมาะสม โดยปกติใช้ 50 หรือ 100 ลูกบาศก์ เซนติเมตร
3. ค่อย ๆ รินน้ำตัวอย่างที่เขย่าให้เข้ากันดีแล้วลงในถ้วยระเหยที่ตั้งบนเครื่องอังน้ำ เมื่อไอน้ำระเหยออกหมดแล้ว
4. ให้นำจานระเหยไปอบที่เตาอบแห้งที่อุณหภูมิ 103-105 องศาเซลเซียส เป็นเวลา 1 ชั่วโมง ปล่อยให้เย็นในโถทำแห้ง
5. ชั่งหาน้ำหนักทันทีที่เย็นเท่าอุณหภูมิห้อง
6. ทำซ้ำในข้อ 4 และ 5 อีกครั้ง ซึ่งจานระเหยได้น้ำหนักคงที่ หรือน้ำหนักเปลี่ยนแปลงน้อยกว่าร้อยละ 4 สมมติว่าเป็น B มิลลิกรัม

### วิธีการคำนวณ

$$\text{ของแข็งทั้งหมด มิลลิกรัมต่อลิตร} = \frac{\text{น้ำหนักที่เพิ่มขึ้น (B-A) x 1000}}{\text{ลูกบาศก์ เซนติเมตรของตัวอย่างน้ำ}}$$

หมายเหตุ อาจคำนวณหาปริมาณของแข็งทั้งหมดได้จาก

ปริมาณของแข็งทั้งหมด หรือ ทีเอสเอส = ปริมาณของแข็งละลาย + ปริมาณของแข็งแขวนลอย

$$\text{ทีเอสเอส} = \text{ทีดีเอส} + \text{เอสเอส}$$

### ก.2.5 ปริมาณโปรตีน (Lawry Assay)

#### เครื่องมือ อุปกรณ์ และสารเคมี

##### Lawry Reagent

1. Reagent A : ละลาย  $\text{Na}_2\text{CO}_3$  100 กรัม ในสารละลาย  $\text{NaOH}$  0.5 นอร์มอล
2. Reagent B : ละลาย  $\text{CuSO}_4 \cdot 5\text{H}_2\text{O}$  1 กรัม ในน้ำกลั่น 100 มิลลิลิตร
3. Reagent C : ละลายนโปแทสเซียมไทโรเทรต 2 กรัม ในน้ำกลั่น 100 มิลลิลิตร

นำสารละลายเก็บไว้ เมื่อทำการทดลองจะนำ รีเอเจนต์ A 15 มิลลิลิตร รีเอเจนต์

B 0.75 มิลลิลิตร และรีเอเจนต์ C 0.75 มิลลิลิตร มาผสมกันเป็น Lawry Reagent

4. Cuvette
5. Test tube 16 x 150 มิลลิเมตร
6. สารละลาย BSA 0.3 มิลลิกรัมต่อมิลลิลิตร

7. Folin-Phenol reagent เข้มข้น 2 นอร์มอล
8. Vortex mixer

#### วิธีการวิเคราะห์

1. ปิเปตสารละลาย BSA (Bovine Serum Albumin) ความเข้มข้น 0.3 มิลลิกรัมต่อ มิลลิลิตร ใส่ในหลอดทดลอง 10 หลอด ปริมาตร 0, 0.1, 0.2, 0.3, 0.4, 0.5, 0.6, 0.7, 0.8, 0.9 และ 1 มิลลิลิตร ตามลำดับ ส่วนอีก สามหลอด ใส่ตัวอย่าง 0.1 มิลลิลิตร
2. ปรับปริมาตรทุก ๆ หลอดเป็น 1 มิลลิลิตร ด้วยน้ำกลั่น
3. เติม Lawry Reagent ในหลอด 1 มิลลิลิตร ใช้ Vortex mixer ผสมสารให้เข้ากัน
4. ตั้งหลอดทิ้งไว้ที่อุณหภูมิห้อง นาน 15 นาที
5. ในระหว่างที่ตั้งหลอดทดลองทิ้งไว้ เติม Folin-Phenol reagent เข้มข้น 2 นอร์มอล ปริมาตร 5 มิลลิลิตร ใน Erlenmeyer flask ขนาด 125 มิลลิลิตร ปรับปริมาตรด้วยน้ำกลั่นจนได้ 50 มิลลิลิตร ผสมให้เข้ากัน
6. เมื่อครบเวลาที่ตั้งหลอดทิ้งไว้ ให้นำสารละลายที่ได้จากข้อ 5 โดยปิเปตมา 3 มิลลิลิตร ใส่ในแต่ละหลอด ผสมให้เข้ากัน
7. ตั้งทิ้งไว้ที่อุณหภูมิห้องนาน 45 นาที
8. ดูการดูดกลืนแสงที่ความยาวคลื่น 540 นาโนเมตร และที่ความยาวคลื่น 750 นาโนเมตร (จะเร็วกว่า)
9. คำนวนข้อมูลที่ได้ จะได้ค่าความเข้มข้นของตัวอย่าง

#### ก.2.6 ปริมาณโปรตีน (Protein content)

โดยวิธี Kjeldahl Method ตามวิธี AOAC ข้อ 920.015 (AOAC, 1990)

#### เครื่องมือ อุปกรณ์ และสารเคมี

1. ค่ะตะลิตต์ผสม (catalyst mixture) ประกอบด้วยโซเดียมซัลเฟตปราศจากน้ำ 96 เปอร์เซ็นต์ คอปเปอร์ซัลเฟต 3.5 เปอร์เซ็นต์ และเซลเนียมไดออกไซด์ 0.5 เปอร์เซ็นต์
2. กรดซัลฟูริกเข้มข้น
3. สารละลายกรดบอริกเข้มข้น 4 นอร์มัล
4. สารละลายโซเดียมไฮดรอกไซด์เข้มข้น 50 เปอร์เซ็นต์ (น้ำหนักต่อปริมาตร)
5. สารละลายมาตรฐานกรดซัลฟูริกเข้มข้น 0.1 นอร์มัล
6. เซียร์อินดิเคเตอร์ (sher indicator) ประกอบด้วยเมทิลเรด 0.016 และโบโรโมครี ซอลกรีน 0.083 เปอร์เซ็นต์ ในเอทิลแอลกอฮอล์
7. เครื่องชั่งละเอียด 4 ตำแหน่ง (Sartorius รุ่น AC211S)

8. Digestion unit (BUCHI 426)

9. Distillation (BUCHI 323)

#### วิธีการย่อยสลาย (Digestion)

ซึ่งนำหนักตัวอย่าง 5 กรัมใส่ในขวดกลั่น (Kjeldahl digestion flask) เติม HgO 0.7 กรัม (หรือ metallic Hg 0.65 กรัม) K<sub>2</sub>SO<sub>4</sub> 15 กรัม (เป็นผงหรือเป็น anhydrous) นำขวดกลั่นไปตั้งบนเตาย่อยและให้ความร้อนอ่อนๆ จนกระทั่งฟองหมด (ถ้าจำเป็นเติม parafin ลงไปเล็กน้อยเพื่อลดปริมาณฟอง) ต้มให้เดือดจนกระทั่งสารละลายใส (โดยมากใช้เวลามากกว่า 30 นาที) เพื่อให้แน่ใจว่าปฏิกิริยาสมบูรณ์

#### วิธีการกลั่น (Distillation)

นำตัวอย่างที่ย่อยเสร็จทิ้งให้เย็น เติมน้ำ 200 มิลลิลิตร ทิ้งให้เย็นที่อุณหภูมิห้อง เติมสารละลายซัลไฟด์ (sulfide) หรือไธโอซัลไฟด์ (Thiosulfate) ผสมจนกระทั่งเกิดตะกอน Hg ใส่ Zn จากนั้นค่อยๆ หยด NaOH ลงไปโดยไม่ต้องเขย่า จากนั้นต่อขวดกลั่นเข้าเครื่องกลั่นให้ปลายข้างหนึ่งของคอนเดนเซอร์จุ่มในสารละลายกรดมาตรฐาน กลั่นจนได้แอมโมเนีย (NH<sub>3</sub>) ออกมาประมาณ 150 มิลลิลิตร

#### วิธีการไตเตรต (Titration)

นำตัวอย่างที่กลั่นได้มาเติมอินดิเคเตอร์ ประมาณ 2-3 หยดปรับด้วยสารละลายกรดมาตรฐานให้มากเกินพอ แล้วไตเตรตกับสารละลายมาตรฐาน NaOH

#### วิธีการคำนวณ

$$\text{ปริมาณไนโตรเจน (ร้อยละ)} = (X \times N \times 1.4 \times 100) / (W \times 100)$$

เมื่อ X คือ ปริมาณของสารละลายกรดมาตรฐาน (มิลลิลิตร)

N คือ ความเข้มข้นของสารละลายกรดมาตรฐาน (นอร์มัล)

W คือ น้ำหนักหรือปริมาตรของตัวอย่าง (กรัม)

$$\text{ปริมาณโปรตีน (ร้อยละ)} = \text{ปริมาณไนโตรเจนทั้งหมด} \times 6.25$$

#### ก.2.7 ปริมาณเถ้า (Ash content)

วิเคราะห์ปริมาณเถ้าในตะกอนของน้ำทิ้งสังเคราะห์จากกระบวนการผลิตเต้าหู้แข็ง แสดงในรูปของค่าร้อยละ โดยวิธีของ AOAC ข้อ 935.42 (AOAC, 1990)

#### เครื่องมือ อุปกรณ์ และสารเคมี

1. ตู้อบลมร้อน

2. ถ้วยครุฑีเบิ้ล
3. เดซิเคเตอร์
4. hot plate
5. เครื่องชั่งละเอียด

#### วิธีการวิเคราะห์

เผาครุฑีเบิ้ลที่อุณหภูมิ 450 องศาเซลเซียส เป็นเวลา 30 นาที จนมีน้ำหนักคงที่ทิ้งให้เย็นในเดซิเคเตอร์ประมาณ 20 นาที ชั่งน้ำหนักที่แน่นอนของครุฑีเบิ้ล ซึ่งตัวอย่างประมาณ 2 กรัม ให้น้ำหนักที่แน่นอนใส่ในครุฑีเบิ้ล เเผาโดยใช้ hot plate จนไม่มีควันดำ นำไปเผาต่อที่เตาเผาที่อุณหภูมิประมาณ 600 องศาเซลเซียส จนกระทั่งได้เถ้าสีขาวประมาณ 3 ชั่วโมง ทิ้งให้เย็นในเดซิเคเตอร์ 20 นาที แล้วชั่งน้ำหนัก

#### วิธีการคำนวณ

ปริมาณเถ้า แสดงได้ดังสมการที่ ก.6

$$\text{ปริมาณเถ้าทั้งหมด} = \frac{\text{น้ำหนักถ้วยครุฑีเบิ้ลและเถ้า} - \text{น้ำหนักถ้วยครุฑีเบิ้ล} \times 100}{\text{น้ำหนักแห้งของตัวอย่าง}}$$

#### ก.2.8 ค่า pH

วิเคราะห์ pH ของน้ำทิ้งจากกระบวนการผลิตเต้าหู้แข็ง โดยวิธีสมาคมวิศวกรรมสิ่งแวดล้อมแห่งประเทศไทย, (2540) ดังนี้

#### เครื่องมือ อุปกรณ์ และสารเคมี

1. เครื่อง pH
2. บีกเกอร์ขนาด 1000 มิลลิลิตร

#### วิธีการวิเคราะห์

วิเคราะห์ค่า pH โดยนำน้ำทิ้งจากกระบวนการผลิตเต้าหู้แข็ง มาปรับด้วยกรดไฮโดรคลอริก วัดค่า pH ด้วยเครื่องวัด pH

**ภาคผนวก ข**  
**ตัวอย่างการคำนวณ**

**ข.1 ระดับการกำจัดหมู่อะซิติลของโคโคซาน**

**ตัวอย่างการคำนวณ**

การคำนวณโคโคซานที่มีระดับการกำจัดหมู่อะซิติล 82.60 %

1. การคำนวณความเข้มข้นของ PVSK

$$N = 50 \times C / 358 D$$

$$N = 50 \times 0.05 / 358 \times 3.32$$

$$N = 2.12 \times 10^{-3} N$$

$$\begin{aligned} \text{ค่าเฉลี่ยความเข้มข้นของ PVSK} &= (2.12 \times 10^{-3} + 2.12 \times 10^{-3} + 2.12 \times 10^{-3}) / 3 \\ &= 2.12 \times 10^{-3} N \end{aligned}$$

2. การคำนวณระดับการกำจัดหมู่อะซิติล

$$\% DA = 100 \times (50C - 161ND) / (42ND + 50C)$$

$$\begin{aligned} \% DA &= 100 \times [(50 \times 0.0392) - (161 \times 2.12 \times 10^{-3} \times 4.77)] / \\ &[(42 \times 2.12 \times 10^{-3} \times 4.77) + (50 \times 0.0392)] \end{aligned}$$

$$\% DA = 14.00\%$$

$$\% DD = 100 - 14.00 = 86.00$$

$$\text{ค่าเฉลี่ย \% DD} = (86.00 + 85.75 + 80.2 + 78.46) / 4 = 82.60$$

**ข.2 น้ำหนักโมเลกุลของโคโคซาน**

**ตัวอย่างการคำนวณ**

การคำนวณโคโคซานที่มีน้ำหนักโมเลกุล  $0.60 \times 10^6$  ดาลตัน

1. คำนวณหา  $\eta_r$  จากสมการ  $\eta_r \approx t_{\text{solution}} / t_{\text{solvent}}$

$$\eta_r \approx 135.24 / 77.49$$

$$\eta_r \approx 1.745$$

2. คำนวณหา specific viscosity จากสมการ  $\eta_{sp} = \eta_r - 1$

$$\eta_{sp} = 1.745 - 1 = 0.745$$

3. คำนวณหา  $\eta_{sp}/C$ 

$$\eta_{sp}/C_1 = 0.745/7.6 \times 10^{-4} \text{ g/mL} = 981$$

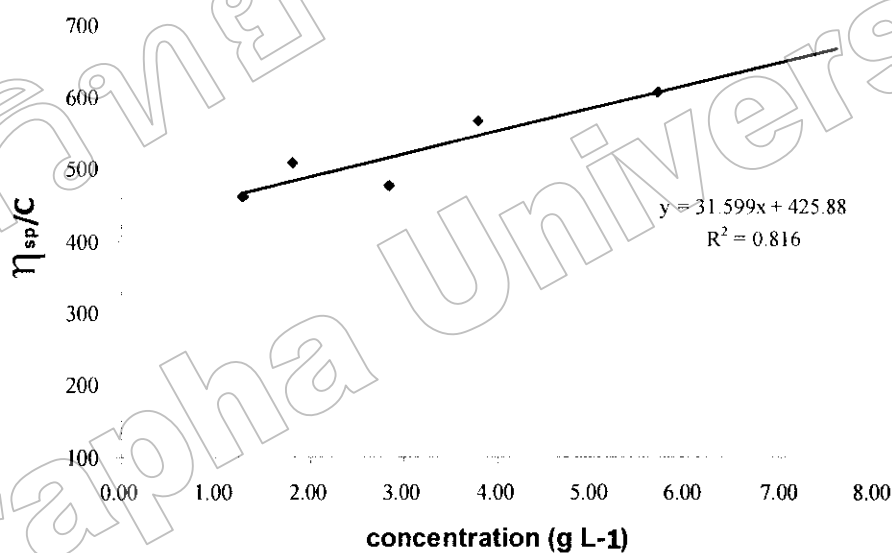
$$\eta_{sp}/C_2 = 0.345/5.7 \times 10^{-4} \text{ g/mL} = 606$$

$$\eta_{sp}/C_3 = 0.215/3.8 \times 10^{-4} \text{ g/mL} = 566$$

$$\eta_{sp}/C_4 = 0.135/2.85 \times 10^{-4} \text{ g/mL} = 745$$

$$\eta_{sp}/C_5 = 0.092/1.81 \times 10^{-3} \text{ g/mL} = 509$$

$$\eta_{sp}/C_6 = 0.059/1.27 \times 10^{-3} \text{ g/mL} = 461$$

4. สร้างกราฟระหว่าง  $\eta_{sp}/C$  กับ C

## 5. ลากกราฟเพื่อหาจุดตัดแกน y

$$\text{จากกราฟจุดตัดแกน } y = 425.88$$

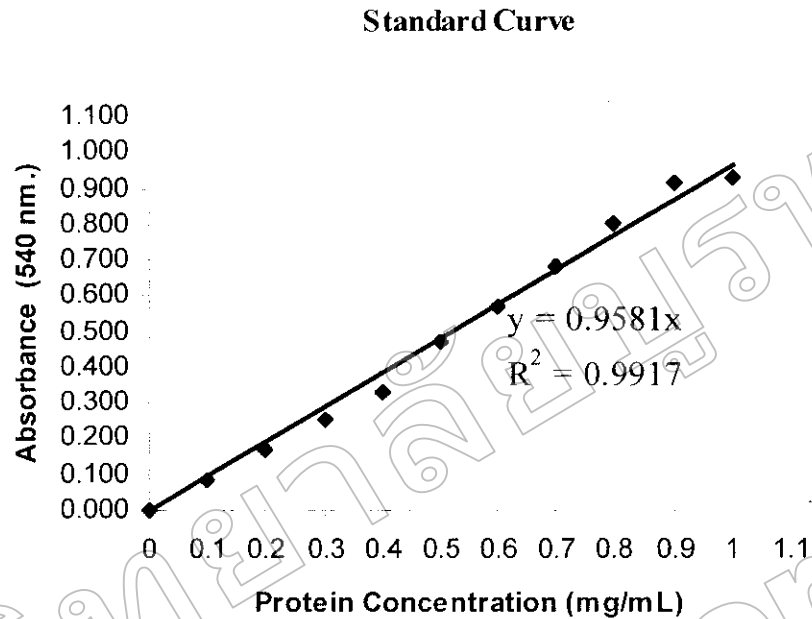
6. คำนวณหาน้ำหนักโมเลกุลจาก  $[\eta] = KM_v^a$ 

$$425.88 = (1.8 \times 10^{-3}) \times M_v^{0.93}$$

$$\log 425.88 = \log (1.8 \times 10^{-3}) + \log M_v^{0.93}$$

$$M_v = 0.60 \times 10^6 \text{ Da}$$

### ข.3 ความเข้มข้นของโปรตีนในสารละลายส่วนใส (Lowry Method)



ภาพภาคผนวก ข-1 กราฟมาตรฐานแสดงค่าการดูดกลืนแสงของสารละลาย Bovine Serum Albumin ที่ความเข้มข้น 0-1.1 มิลลิกรัมต่อลิตร

#### ตัวอย่างการคำนวณ

เมื่อนำสารละลายตัวอย่างมาวัดการดูดกลืนแสงที่ความยาวคลื่น 540 นาโนเมตร จะได้ค่าการดูดกลืนแสงขึ้น สามารถเปรียบเทียบกับกราฟมาตรฐาน เพื่อคำนวณหาความเข้มข้นของโปรตีนในหน่วยมิลลิกรัมต่อมิลลิลิตร ได้ เช่น ตัวอย่างของน้ำทิ้งที่ pH 5.0 ที่ตกตะกอนด้วยโคโคซานที่มีระดับการกำจัดหมู่อะซิติล 82.60% ที่ปริมาณโคโคซานที่ใช้ 0.00 ที่เวลา 0 นาที ที่การทำซ้ำครั้งที่ 1 วัดค่าการดูดกลืนแสงได้ 0.696 คำนวณได้ดังนี้

จากสมการที่ได้จากกราฟมาตรฐาน  $y = 0.9581X$

แทนค่า  $0.696 = 0.9581X$

จะได้ค่า  $X = 0.726$

ดังนั้นจะได้ค่าความเข้มข้นของโปรตีน เท่ากับ 0.726 มิลลิกรัมต่อมิลลิลิตร

#### ข.4 ปริมาณของแข็งแขวนลอย (suspended solids ; SS)

##### ตัวอย่างการคำนวณ

การคำนวณค่าปริมาณของแข็งแขวนลอยของน้ำทิ้งสังเคราะห์จากกระบวนการผลิต  
 เตาแห้งที่ตกตะกอนด้วยโคโคซานที่มีระดับการกำจัดหมู่อะซิติล 82.60 %ที่ pH 5.0 ที่ปริมาณ  
 โคโคซานที่ใช้ 0.00 ที่ เวลา 5 นาที ที่ การทำซ้ำครั้งที่ 1 ได้น้ำหนักกระดาษก่อนกรอง 0.9150 กรัม  
 ปริมาตรตัวอย่าง 10 มิลลิลิตร และ น้ำหนักกระดาษหลังกรอง 1.3096 กรัม คำนวณได้ดังนี้

$$\begin{aligned}
 SS &= \frac{\text{น้ำหนักกระดาษหลังกรอง} - \text{น้ำหนักกระดาษก่อนกรอง} \times 1000}{\text{ปริมาตรตัวอย่าง}} \\
 &= \frac{1.3096 - 0.9150}{10} \times 1000 \\
 &= 39.46 \text{ มิลลิกรัมต่อลิตร}
 \end{aligned}$$

ดังนั้น ค่าปริมาณของแข็งแขวนลอย เท่ากับ 39.46 มิลลิกรัมต่อลิตร

#### ข.5 ปริมาณของแข็งละลายทั้งหมด (Total dissolved solids ; TDS)

##### ตัวอย่างการคำนวณ

การคำนวณค่าปริมาณของแข็งละลายทั้งหมดของน้ำทิ้งสังเคราะห์จากกระบวนการ  
 ผลิตเตาแห้งที่ตกตะกอนด้วยโคโคซานที่มีระดับการกำจัดหมู่อะซิติล 82.60 %ที่ pH 5.0 ที่  
 ปริมาณโคโคซานที่ใช้ 0.00 ที่ เวลา 5 นาที ที่ การทำซ้ำครั้งที่ 1 ได้น้ำหนักงานระเหยก่อนกรอง  
 34.1214 กรัม ปริมาตรตัวอย่าง 9 มิลลิลิตร และ น้ำหนักงานระเหยหลังกรอง 34.1874 กรัม  
 คำนวณได้ดังนี้

$$\begin{aligned}
 TDS &= \frac{\text{น้ำหนักงานระเหยหลังกรอง} - \text{น้ำหนักงานระเหยก่อนกรอง} \times 1000}{\text{ปริมาตรตัวอย่าง}} \\
 &= \frac{34.1874 - 34.1214}{9} \times 1000 \\
 &= 7.3342 \text{ มิลลิกรัมต่อลิตร}
 \end{aligned}$$

ดังนั้น ค่าปริมาณของแข็งละลายทั้งหมดเท่ากับ 7.3342 มิลลิกรัมต่อลิตร

## ข.6 ปริมาณของแข็งทั้งหมด (Total suspended solids ; TSS)

### ตัวอย่างการคำนวณ

การคำนวณค่าปริมาณของแข็งทั้งหมดของน้ำทิ้งสังเคราะห์จากกระบวนการผลิตเต้าหู้แข็งที่ตกตะกอนด้วยโคโคซานที่มีระดับการกำจัดหมู่อะซีติล 82.60 % ที่ pH 5.0 ที่ปริมาณโคโคซานที่ใช้ 0.00 ที่ เวลา 5 นาที ที่การทำซ้ำครั้งที่ 1 ได้ค่าปริมาณของแข็งแขวนลอย เท่ากับ 39.4600 มิลลิกรัมต่อลิตร และ ค่าปริมาณของแข็งละลายทั้งหมดเท่ากับ 7.3342 มิลลิกรัมต่อลิตร คำนวณได้ดังนี้

$$\begin{aligned} \text{TSS} &= \text{เอสเอส} + \text{ทีดีเอส} \\ &= 39.4600 + 7.3342 \\ &= 46.7942 \end{aligned}$$

ดังนั้น ค่าปริมาณของแข็งทั้งหมดเท่ากับ 46.7942 มิลลิกรัมต่อลิตร

## ข.7 ปริมาณเถ้า

### ตัวอย่างการคำนวณ

ซึ่งครุซีเบลล์ที่ผ่านการเผาและทิ้งให้เย็นจนได้น้ำหนักคงที่มีค่า 43.9297 กรัม และนำตะกอนของน้ำทิ้งสังเคราะห์จากกระบวนการผลิตเต้าหู้แข็งที่ตกตะกอนด้วยโคโคซานที่มีระดับการกำจัดหมู่อะซีติล 82.60 % ที่การทำซ้ำครั้งที่ 1 ที่ผ่านการอบแห้งมีน้ำหนัก 2.1502 กรัม นำไปเผาจนได้เถ้าสีขาวทิ้งให้เย็นแล้วชั่งน้ำหนักได้ 43.8757 กรัม คำนวณหาปริมาณเถ้า โดยแทนค่าต่าง ๆ ในสมการ คำนวณได้ดังนี้

$$\begin{aligned} \text{ปริมาณเถ้า (ร้อยละ)} &= \frac{(43.9297-43.8757) \times 100}{2.1502} \\ &= 2.51\% \end{aligned}$$

ดังนั้น ค่าปริมาณเถ้า เท่ากับ 2.51 เปอร์เซ็นต์

## ข.8 ปริมาณโปรตีน โดยวิธี Kjeldahl Method

### ตัวอย่างการคำนวณ

นำตะกอนของน้ำทิ้งสังเคราะห์จากกระบวนการผลิตเต้าหู้แข็งที่เติมโคโคซานที่มีค่าระดับการกำจัดหมู่อะซีติล 82.60% ที่การทำซ้ำครั้งที่ 1 ที่ผ่านการอบแห้งมีน้ำหนัก 2.0395 กรัม นำตัวอย่างที่กลั่นได้ไปไตเตรตกับสารละลายมาตรฐานที่วัดความเข้มข้นได้ 0.095 นอร์มัล และได้ปริมาณของสารละลายกรดมาตรฐาน ที่ใช้เท่ากับ 117.6 มิลลิลิตร โดยแทนค่าต่าง ๆ ในสมการ คำนวณได้ดังนี้

$$\begin{aligned} \text{ปริมาณไนโตรเจน (ร้อยละ)} &= (X \times N \times 1.4 \times 100) / (W \times 100) \\ &= (117.6 \times 0.095 \times 1.4 \times 100) / (2.0395 \times 100) \\ &= 7.6689 \end{aligned}$$

$$\begin{aligned} \text{ปริมาณโปรตีน (ร้อยละ)} &= \text{ปริมาณไนโตรเจนทั้งหมด} \times 6.25 \\ &= 7.6689 \times 6.25 \\ &= 47.93 \end{aligned}$$

ดังนั้น ค่าปริมาณโปรตีน เท่ากับ 47.93 เปอร์เซ็นต์

### ข.9 ผลต่าง

#### ตัวอย่างการคำนวณ

ผลต่างของความขุ่น

ผลต่างของความขุ่น แสดงได้ดังสมการ

$$\text{ผลต่างของความขุ่น} = | \text{ความขุ่นที่เวลา 0 นาที} - \text{ความขุ่นที่เวลา 120 นาที} |$$

ตัวอย่างน้ำทิ้งสังเคราะห์จากกระบวนการผลิตเตาหุงแห้งที่ตกตะกอนด้วยโคโคซานที่มีระดับการกำจัดหมู่อะซิติก 82.60 % ที่ปริมาณโคโคซานที่ใช้ 0.00 กรัมต่อลิตร ที่การทำซ้ำครั้งที่ 1 ความขุ่นเริ่มต้น(0 นาที) เท่ากับ 694 NTU และความขุ่นสุดท้ายที่เวลา 120 นาที เท่ากับ 64.3 NTU คำนวณหาผลต่างของความขุ่น โดยแทนค่าต่างๆ ในสมการ คำนวณได้ดังนี้

$$\text{ผลต่างของความขุ่น} = | 694 - 64.3 | = 629.7 \text{ NTU}$$

ดังนั้น ค่าผลต่างของความขุ่น เท่ากับ 629.7 NTU

### ข.10 เปอร์เซ็นต์การลดลง

#### ตัวอย่างการคำนวณ

เปอร์เซ็นต์การลดลงของความขุ่น

เปอร์เซ็นต์การลดลงของความขุ่นแสดงได้ดังสมการ

$$\text{เปอร์เซ็นต์การลดลงของความขุ่น} = \frac{\text{ความขุ่นเริ่มต้น} - \text{ความขุ่นสุดท้าย}}{\text{ความขุ่นเริ่มต้น}} \times 100$$

ตัวอย่างน้ำทิ้งสังเคราะห์จากกระบวนการผลิตเตาหุงแห้งที่ตกตะกอนด้วยโคโคซานที่มีระดับการกำจัดหมู่อะซิติก 82.60 % ที่ปริมาณโคโคซานที่ใช้ 0.00 กรัมต่อลิตร ที่การทำซ้ำครั้งที่ 1 ความขุ่นเริ่มต้น(0 นาที) เท่ากับ 694 NTU และความขุ่นสุดท้ายที่เวลา 120 นาที เท่ากับ 64.3 NTU คำนวณหาเปอร์เซ็นต์การลดลงของความขุ่นโดยแทนค่าต่างๆ ในสมการ คำนวณได้ดังนี้

$$\begin{aligned} \text{เปอร์เซ็นต์การลดลงของความขุ่น} &= \frac{694 - 64.3}{694} \times 100 \\ &= 90.7 \end{aligned}$$

ดังนั้น เปอร์เซ็นต์การลดลงของความขุ่น เท่ากับ 90.7

### ข.11 อัตราการลดลง (rate of reduction)

#### ตัวอย่างการคำนวณ

อัตราการลดลงของความขุ่นที่ 0-5 นาที แสดงได้ดังสมการที่

$$\text{จาก} \quad \text{rate} = -r = -\frac{1}{v} \frac{d\text{NTU}}{dt} = \frac{\text{NTU}_i - \text{NTU}_f}{(v)(t_f - t_i)}$$

เมื่อ  $v$  คือ ปริมาตรรวมของน้ำที่ส่งเคราะห์จากกระบวนการผลิตเต้าหู้แข็งที่เติม  
โคโคซาน (มิลลิลิตร)

$\text{NTU}_f$  คือ ความขุ่นสุดท้ายที่คงที่

$\text{NTU}_i$  คือ ความขุ่นเริ่มต้น

$t_f$  คือ เวลาสุดท้ายที่ความขุ่นคงที่ (นาที)

$t_i$  คือ เวลาเริ่มต้น (0 นาที)

#### ตัวอย่างการคำนวณ

ตัวอย่างน้ำที่ส่งเคราะห์จากกระบวนการผลิตเต้าหู้แข็งปริมาตร 591 มิลลิลิตร ที่ตก  
ตะกอนด้วยโคโคซานที่มีระดับการกำจัดหมู่อะซิติล 82.60 % ปริมาตร 9 มิลลิลิตร ได้ตาม  
ความเข้มข้นสุดท้ายเป็น 0.3 กรัมต่อลิตร ความขุ่นเริ่มต้น (0 นาที) เฉลี่ยเท่ากับ 694 NTU  
และความขุ่น (5 นาที) เท่ากับ 93.0 NTU เวลาที่ความขุ่นคงที่เท่ากับ 120 นาที โดยมีปริมาตร  
รวมทั้งหมดของน้ำที่ส่งเคราะห์ที่เติมโคโคซาน 600 มิลลิลิตร ที่การทำซ้ำครั้งที่ 1 คำนวณหา  
อัตราการลดลงของความขุ่นที่ 0-5 โดยแทนค่าต่างๆ ในสมการ คำนวณได้ดังนี้

$$\begin{aligned} -r &= \frac{93.0 - 694}{(600)(120 - 0)} \\ &= -0.0083 \text{ NTU/mL.min} \\ r &= 0.0083 \text{ NTU/mL.min} \end{aligned}$$

ดังนั้นอัตราการลดลงของความขุ่นที่ 0-5 นาที เท่ากับ 0.0083 NTU/mL.min

## ภาคผนวก ค วิธีการใช้เครื่องมือ

### ค.1 จาร์เทสต์(Jar Test)

จาร์เทสต์ใช้หาชนิดและปริมาณของโคแอกกูแลนทีที่เหมาะสม ในการนำของแข็งที่แขวนลอยในน้ำเสียกลับมาใช้ใหม่ โดยเครื่องกวนมีที่กวนหลายตัวและสามารถปรับความเร็วได้ สภาวะมาตรฐานขึ้นอยู่กับ

1. ปริมาตรของน้ำเสียแต่ละครั้งต้องพอเหมาะ
2. มิติและรูปร่างของภาชนะที่ใช้บรรจุและที่กวน
3. เวลาและความเร็วของการกวนในระหว่างการผสม Turbulent phase
4. เวลาและความเร็วของการกวนในระหว่างการผสม Flocculation phase
5. ประเมินบรรทัดฐานที่ได้จากข้อสรุป

สภาวะที่ใช้คือ

1. บีกเกอร์ 1000 มิลลิลิตร ทรงสูงเส้นผ่านศูนย์กลาง 105 มิลลิเมตร
2. ใสตัวอย่าง 600 มิลลิลิตร
3. แท่งกวน สูง 125 มิลลิเมตร กว้าง 75 มิลลิเมตร หน้า 1 มิลลิเมตร
4. ความสูงของแท่งกวนควรอยู่ตรงกลางตัวอย่างน้ำเสีย
5. การกวนแบบเร็วหลังจากผสมสารเคมี ใช้ความเร็ว 120 รอบ ต่อนาที นาน 2 นาที
6. การกวนแบบช้าระหว่างการเกาะกลุ่มกัน ใช้ความเร็ว 30 รอบ ต่อนาที นาน 25 นาที
7. ประเมินผลครั้งแรกหลังหยุดการกวนและเกิดตะกอนเมื่อเวลาผ่านไป 1 ชั่วโมง

### ค.2 เครื่องวัดความขุ่น (Turbidimeter)

วิธีการใช้เครื่อง

1. ก่อนทำการวัดความขุ่น ให้เปิดเครื่องเพื่ออุ่นเครื่องเป็นเวลา 15 นาที
2. จากนั้นการเตรียมตัวอย่างสำหรับวัด โดยนำตัวอย่างน้ำประมาณ 30 มิลลิลิตร

เติมลงใน sample cell

3. ปิดฝา sample cell และหยด silicone oil ลงไป 1 หยด ใช้ผ้าเช็ดข้างหลอด

sample cell เพื่อทำความสะอาดภายนอกเซลล์วัด

4. นำตัวอย่างที่บรรจุอยู่ใน sample cell ใสลงในช่องวัดตัวอย่างของเครื่อง ปิดฝา
5. เลือกช่วงในการวัดเป็น manual หรือ automatic range โดยกดปุ่ม Range

6. เลือกการหาค่าเฉลี่ยของการวัด โดยกดปุ่ม SIGNAL AVG.
7. เลือก detector ในการวัด กดปุ่ม RATIO ซึ่งถ้าความขุ่น > 40 NTU ให้เลือก RATIO ON (เมื่อเลือก RATIO ON ไฟกระพริบตรงปุ่ม RATIO ON )
8. เลือกหน่วยในการวัด ( เป็น NTU EBC NEPH) โดยกดปุ่ม UNITS EXIT
9. จากนั้นเมื่อเลือกฟังก์ชันต่าง ๆ จากข้อ 5-8 ครบแล้ว ให้กด ENTER อ่านค่าความขุ่นของตัวอย่าง

## ภาคผนวก ง

### ตัวอย่างคำสั่งการวิเคราะห์ทางสถิติ

คำสั่งโปรแกรมสำเร็จรูป SAS version 6.12 (SAS Institute Cary, North Carolina USA) สำหรับวิเคราะห์ข้อมูลเพื่อวิเคราะห์ความแปรปรวน และเปรียบเทียบค่าเฉลี่ยระหว่างทรีทเมนต์แบบ multiple comparisons โดยวิธี Duncan's New Multiple Range Test ต่อการลดลงของค่าความขุ่นที่เวลา 120 นาที ของน้ำทิ้งที่ pH 5.0 5.5 และ 6.0 ที่ ความเข้มข้น 0.00 0.01 0.05 0.10.2 และ 0.3 g L-1 ที่ตกตะกอนด้วยโคโคซานโคโคซานที่มีระดับการกำจัดหมู่อะซีติล 82.60 % 79.55% และ 72.13% แสดงได้ดังนี้

```

Program NTU
data fact_crd;
  do rep = 1 to 3;
    do DD = 'D1', 'D2', 'D3';
      do pH = '5.00', '5.50', '6.00';
        do Conc = '0.00', '0.01', '0.05', '0.10', '0.20', '0.30' ;
          input NTU @@;
          trt = DD||pH||Conc;
          output;
        end;
      end;
    end;
  end;
end;

cards;
64.3 134.0 92.0 26.4 22.2 20.0 68.8 76.0 52.8 43.2 29.4 22.7
79.6 164.0 139.0 125.0 56.1 37.8 65.0 66.2 63.2 54.2 23.5 22.2
68.9 188.0 130.0 123.0 92.0 32.2 77.9 166.0 139.0 129.0 55.7 40.3
66.1 233.0 150.0 130.0 34.5 24.5 69.9 130.0 104.0 88.2 53.8 36.1
79.9 136.0 115.0 110.0 88.4 63.8
65.2 140.0 91.6 25.3 21.9 21.2 67.4 75.1 53.0 42.6 29.8 22.3
78.1 171.0 142.0 126.0 56.8 38.6 64.9 65.8 61.7 53.4 23.3 22.9
69.9 189.0 128.0 116.0 92.4 32.6 79.3 168.0 144.0 126.0 55.0 40.0
66.0 232.0 153.0 128.0 34.9 24.0 71.2 138.0 103.0 88.9 55.5 36.7
78.7 142.0 121.0 103.0 88.3 63.3
65.0 139.0 91.0 25.7 21.2 19.0 68.2 75.4 52.0 43.5 29.8 22.1
78.5 169.0 144.0 123.0 57.0 38.1 65.4 65.0 61.4 54.5 23.0 20.6
68.5 190.0 134.0 120.0 93.0 33.0 78.0 160.0 141.0 130.0 56.0 40.6
65.6 228.0 155.0 122.0 34.0 24.7 70.4 135.0 106.0 88.4 53.4 38.1
80.0 138.0 117.0 107.0 87.1 65.6
;
PROC ANOVA DATA = fact_crd;
  CLASS DD pH Conc;
  MODEL NTU = DD pH Conc DD*pH DD*Conc pH*Conc
             DD*pH*Conc;

PROC ANOVA DATA = fact_crd;
  CLASS trt;
  MODEL NTU = trt;

```

```
MEANS trt/DUNCAN;
RUN;
```

## Output NTU

## Analysis of Variance Procedure

## Class Level Information

| Class | Levels | Values                        |
|-------|--------|-------------------------------|
| DD    | 3      | D1 D2 D3                      |
| PH    | 3      | 5.00 5.50 6.00                |
| CONC  | 6      | 0.00 0.01 0.05 0.10 0.20 0.30 |

Number of observations in data set = 162

Dependent Variable: NTU

| Source          | DF  | Sum of Squares  | Mean Square   | F Value | Pr > F |
|-----------------|-----|-----------------|---------------|---------|--------|
| Model           | 53  | 379835.21530864 | 7166.70217563 | 2169.17 | 0.0001 |
| Error           | 108 | 356.82000000    | 3.30388889    |         |        |
| Corrected Total | 161 | 380192.03530864 |               |         |        |

| R-Square | C.V.     | Root MSE   | NTU Mean    |
|----------|----------|------------|-------------|
| 0.999061 | 2.174556 | 1.81766028 | 83.58765432 |

| Source     | DF | Anova SS        | Mean Square    | F Value  | Pr > F |
|------------|----|-----------------|----------------|----------|--------|
| DD         | 2  | 17681.40234568  | 8840.70117284  | 2675.85  | 0.0001 |
| PH         | 2  | 24799.18753086  | 12399.59376543 | 3753.03  | 0.0001 |
| CONC       | 5  | 223961.54864198 | 44792.30972840 | 13557.45 | 0.0001 |
| DD*PH      | 4  | 44756.79654321  | 11189.19913580 | 3386.68  | 0.0001 |
| DD*CONC    | 10 | 7695.86432099   | 769.58643210   | 232.93   | 0.0001 |
| PH*CONC    | 10 | 9648.53691358   | 964.85369136   | 292.04   | 0.0001 |
| DD*PH*CONC | 20 | 51291.87901235  | 2564.59395062  | 776.23   | 0.0001 |

## Class Level Information

| Class | Levels | Values   |
|-------|--------|--|
| TRT   | 54     | D15.000.00 D15.000.01 D15.000.05 D15.000.10 D15.000.20 D15.000.30 D15.500.00<br>D15.500.01 D15.500.05 D15.500.10 D15.500.20 D15.500.30 D16.000.00 D16.000.01<br>D16.000.05 D16.000.10 D16.000.20 D16.000.30 D25.000.00 D25.000.01 D25.000.05<br>D25.000.10 D25.000.20 D25.000.30 D25.500.00 D25.500.01 D25.500.05 D25.500.10 |

D25.500.20 D25.500.30 D26.000.00 D26.000.01 D26.000.05 D26.000.10 D26.000.20  
 D26.000.30 D35.000.00 D35.000.01 D35.000.05 D35.000.10 D35.000.20 D35.000.30  
 D35.500.00 D35.500.01 D35.500.05 D35.500.10 D35.500.20 D35.500.30 D36.000.00  
 D36.000.01 D36.000.05 D36.000.10 D36.000.20 D36.000.30

Number of observations in data set = 162

Dependent Variable: NTU

| Source          | DF  | Sum of Squares  | Mean Square   | F Value | Pr > F |
|-----------------|-----|-----------------|---------------|---------|--------|
| Model           | 53  | 379835.21530864 | 7166.70217563 | 2169.17 | 0.0001 |
| Error           | 108 | 356.82000000    | 3.30388889    |         |        |
| Corrected Total | 161 | 380192.03530864 |               |         |        |

| R-Square | C.V.     | Root MSE   | NTU Mean    |
|----------|----------|------------|-------------|
| 0.999061 | 2.174556 | 1.81766028 | 83.58765432 |

| Source | DF | Anova SS        | Mean Square   | F Value | Pr > F |
|--------|----|-----------------|---------------|---------|--------|
| TRT    | 53 | 379835.21530864 | 7166.70217563 | 2169.17 | 0.0001 |

Duncan's Multiple Range Test for variable: NTU

NOTE: This test controls the type I comparisonwise error rate, not the  
 experimentwise error rate

Alpha= 0.05 df= 108 MSE= 3.303889

|                 |       |       |       |       |       |       |       |       |       |       |       |       |       |       |
|-----------------|-------|-------|-------|-------|-------|-------|-------|-------|-------|-------|-------|-------|-------|-------|
| Number of Means | 2     | 3     | 4     | 5     | 6     | 7     | 8     | 9     | 10    | 11    | 12    | 13    | 14    | 15    |
| Critical Range  | 2.942 | 3.096 | 3.198 | 3.273 | 3.332 | 3.379 | 3.418 | 3.451 | 3.480 | 3.504 | 3.526 | 3.546 | 3.563 | 3.579 |
| Number of Means | 16    | 17    | 18    | 19    | 20    | 21    | 22    | 23    | 24    | 25    | 26    | 27    | 28    | 29    |
| Critical Range  | 3.593 | 3.606 | 3.617 | 3.628 | 3.638 | 3.647 | 3.655 | 3.663 | 3.670 | 3.677 | 3.683 | 3.689 | 3.695 | 3.700 |
| Number of Means | 30    | 31    | 32    | 33    | 34    | 35    | 36    | 37    | 38    | 39    | 40    | 41    | 42    | 43    |
| Critical Range  | 3.705 | 3.709 | 3.713 | 3.717 | 3.721 | 3.724 | 3.728 | 3.731 | 3.733 | 3.736 | 3.739 | 3.741 | 3.743 | 3.745 |
| Number of Means | 44    | 45    | 46    | 47    | 48    | 49    | 50    | 51    | 52    | 53    | 54    |       |       |       |
| Critical Range  | 3.747 | 3.749 | 3.751 | 3.752 | 3.754 | 3.755 | 3.757 | 3.758 | 3.759 | 3.760 | 3.761 |       |       |       |

Means with the same letter are not significantly different.

| Duncan Grouping | Mean    | N | TRT        |
|-----------------|---------|---|------------|
| A               | 231.000 | 3 | D35.000.01 |
| B               | 189.000 | 3 | D25.500.01 |
| C               | 168.000 | 3 | D16.000.01 |
| D               | 164.667 | 3 | D26.000.01 |
| E               | 152.667 | 3 | D35.000.05 |
| F               | 141.667 | 3 | D16.000.05 |
| F               | 141.333 | 3 | D26.000.05 |
| G               | 138.667 | 3 | D36.000.01 |
| G               | 137.667 | 3 | D15.000.01 |
| H               | 134.333 | 3 | D35.500.01 |
| I               | 130.667 | 3 | D25.500.05 |

|   |   |         |   |            |
|---|---|---------|---|------------|
| J | I | 128.333 | 3 | D26.000.10 |
| J | K | 126.667 | 3 | D35.000.10 |
|   | K | 124.667 | 3 | D16.000.10 |
|   | L | 119.667 | 3 | D25.500.10 |
|   | L | 117.667 | 3 | D36.000.05 |
|   | M | 106.667 | 3 | D36.000.10 |
|   | M | 104.333 | 3 | D35.500.05 |
|   | N | 92.467  | 3 | D25.500.20 |
|   | N | 91.533  | 3 | D15.000.05 |
|   | O | 88.500  | 3 | D35.500.10 |
|   | O | 87.933  | 3 | D36.000.20 |
|   | P | 79.533  | 3 | D36.000.00 |
|   | P | 78.733  | 3 | D16.000.00 |
| Q | P | 78.400  | 3 | D26.000.00 |
| Q |   | 75.500  | 3 | D15.500.01 |
|   | R | 70.500  | 3 | D35.500.00 |
|   | R | 69.100  | 3 | D25.500.00 |
| S | R | 68.133  | 3 | D15.500.00 |
| S | T | 65.900  | 3 | D35.500.00 |
| S | T | 65.667  | 3 | D25.000.01 |
| S | T | 65.100  | 3 | D25.000.00 |
|   | T | 64.833  | 3 | D15.000.00 |
|   | T | 64.233  | 3 | D36.000.30 |
|   | T | 62.100  | 3 | D25.000.05 |
|   | V | 56.633  | 3 | D16.000.20 |
| W | V | 55.567  | 3 | D26.000.20 |
| W | V | 54.233  | 3 | D35.500.20 |
| W | V | 54.033  | 3 | D25.000.10 |
| W |   | 52.600  | 3 | D15.500.05 |
| X |   | 43.100  | 3 | D15.500.10 |
| Y | X | 40.300  | 3 | D26.000.30 |
| Y |   | 38.167  | 3 | D16.000.30 |
| A | Z | 36.967  | 3 | D35.500.30 |
| A | B | 34.467  | 3 | D35.000.20 |
| C | B | 32.600  | 3 | D25.500.30 |
| C |   | 29.667  | 3 | D15.500.20 |
|   | D | 25.800  | 3 | D15.000.10 |
| E | D | 24.400  | 3 | D35.000.30 |
| E | D | 23.267  | 3 | D25.000.20 |
| E | F | 22.367  | 3 | D15.500.30 |
| E | F | 21.900  | 3 | D25.000.30 |
| E | F | 21.767  | 3 | D15.000.20 |
| E | F | 20.067  | 3 | D15.000.30 |

**ภาคผนวก จ**  
**ผลการวิเคราะห์ทางสถิติ**

ตารางภาคผนวก จ-1 ผลการวิเคราะห์ ความแปรปรวน ของปัจจัยต่าง ๆ ได้แก่ ระดับการกำจัด  
หมู่ละอิติลของโคโตซาน pH และปริมาณโคโตซาน ต่อ การลดลงของ  
ความขุ่นของน้ำทิ้งจากกระบวนการผลิตเต้าหู้แข็ง

| Source       | DF  | SS        | MS       | F        | Pr>F    |
|--------------|-----|-----------|----------|----------|---------|
| Treatment    | 53  | 379835.22 | 7166.70  | 2169.17  | 0.0001* |
| DD           | 2   | 17681.40  | 2675.85  | 2675.85  | 0.0001* |
| pH           | 2   | 24799.19  | 12399.59 | 3753.03  | 0.0001* |
| Dosage       | 5   | 223961.65 | 44792.31 | 13557.45 | 0.0001* |
| DD*pH        | 4   | 44756.80  | 11189.20 | 3386.68  | 0.0001* |
| DD*Dosage    | 10  | 7695.86   | 769.59   | 232.93   | 0.0001* |
| pH*Dosage    | 10  | 9648.54   | 964.85   | 292.04   | 0.0001* |
| DD*pH*Dosage | 20  | 51291.88  | 2564.59  | 776.23   | 0.0001* |
| Error        | 108 | 356.82    | 3.30     |          |         |
| Total        | 161 | 380192.04 |          |          |         |

\* หมายถึง มีความแตกต่างอย่างมีนัยสำคัญทางสถิติ ( $p < 0.05$ )

ตารางภาคผนวก จ-2 ผลการวิเคราะห์ ความแปรปรวน ของปัจจัยต่าง ๆ ได้แก่ ระดับการกำจัด  
หมู่ละอิติลของโคโตซาน pH และปริมาณโคโตซาน ต่อเปอร์เซ็นต์การลดลง  
ของความขุ่นของน้ำทิ้งจากกระบวนการผลิตเต้าหู้แข็ง

| Source       | DF  | SS      | MS     | F       | Pr>F    |
|--------------|-----|---------|--------|---------|---------|
| Treatment    | 53  | 6203.40 | 117.05 | 1212.36 | 0.0001* |
| DD           | 2   | 294.08  | 147.04 | 1523.03 | 0.0001* |
| pH           | 2   | 156.54  | 78.27  | 810.70  | 0.0001* |
| Dosage       | 5   | 3787.03 | 757.41 | 7845.25 | 0.0001* |
| DD*pH        | 4   | 744.74  | 186.19 | 1928.52 | 0.0001* |
| DD*Dosage    | 10  | 143.83  | 14.38  | 148.98  | 0.0001* |
| pH*Dosage    | 10  | 189.52  | 18.95  | 196.30  | 0.0001* |
| DD*pH*Dosage | 20  | 887.68  | 44.38  | 459.73  | 0.0001* |
| Error        | 108 | 10.43   | 0.10   |         |         |
| Total        | 161 | 6213.83 |        |         |         |

\* หมายถึง มีความแตกต่างอย่างมีนัยสำคัญทางสถิติ ( $p < 0.05$ )

ตารางภาคผนวก จ-3 ผลการวิเคราะห์ ความแปรปรวน ของปัจจัยต่าง ๆ ได้แก่ ระดับการกำจัด  
หมู่ะซิติลของโคโตซาน pH และปริมาณโคโตซาน ต่ออัตราการลดลง  
ของความขุ่นของน้ำทิ้งจากกระบวนการผลิตเต้าหู้แข็ง

| Source       | DF  | SS         | MS         | F       | Pr>F    |
|--------------|-----|------------|------------|---------|---------|
| Treatment    | 53  | 0.00038073 | 0.00000718 | 581.86  | 0.0001* |
| DD           | 2   | 0.00000285 | 0.00000143 | 115.64  | 0.0001* |
| pH           | 2   | 0.00004353 | 0.00002176 | 1762.87 | 0.0001* |
| Dosage       | 5   | 0.00009405 | 0.00001881 | 1523.59 | 0.0001* |
| DD*pH        | 4   | 0.00005171 | 0.00001293 | 1047.13 | 0.0001* |
| DD*Dosage    | 10  | 0.00004429 | 0.00000443 | 358.75  | 0.0001* |
| pH*Dosage    | 10  | 0.00005887 | 0.00000589 | 476.89  | 0.0001* |
| DD*pH*Dosage | 20  | 0.00008542 | 0.00000427 | 345.97  | 0.0001* |
| Error        | 108 | 0.00000133 | 0.00000001 |         |         |
| Total        | 161 | 0.00038206 |            |         |         |

\* หมายถึง มีความแตกต่างอย่างมีนัยสำคัญทางสถิติ ( $p < 0.05$ )

ตารางภาคผนวก จ-4 ผลการวิเคราะห์ ความแปรปรวน ของปัจจัยต่าง ๆ ได้แก่ ระดับการกำจัด  
หมู่ะซิติลของโคโตซาน pH และปริมาณโคโตซาน ต่อการลดลงของของแข็ง  
แขวนลอยของน้ำทิ้งจากกระบวนการผลิตเต้าหู้แข็ง

| Source       | DF  | SS       | MS      | F        | Pr>F    |
|--------------|-----|----------|---------|----------|---------|
| Treatment    | 53  | 27802.14 | 524.57  | 2255.83  | 0.0001* |
| DD           | 2   | 4543.70  | 2271.85 | 9769.73  | 0.0001* |
| pH           | 2   | 1318.41  | 659.20  | 2834.80  | 0.0001* |
| Dosage       | 5   | 13335.14 | 2667.03 | 11469.14 | 0.0001* |
| DD*pH        | 4   | 2281.79  | 570.45  | 2453.12  | 0.0001* |
| DD*Dosage    | 10  | 2090.72  | 209.07  | 899.08   | 0.0001* |
| pH*Dosage    | 10  | 1346.62  | 134.66  | 579.09   | 0.0001* |
| DD*pH*Dosage | 20  | 2865.77  | 144.29  | 620.49   | 0.0001* |
| Error        | 108 | 25.11    | 0.23    |          |         |
| Total        | 161 | 27827.26 |         |          |         |

\* หมายถึง มีความแตกต่างอย่างมีนัยสำคัญทางสถิติ ( $p < 0.05$ )

ตารางภาคผนวก ๑-5 ผลการวิเคราะห์ ความแปรปรวน ของปัจจัยต่าง ๆ ได้แก่ ระดับการกำจัด  
หมู่ละอิดลของโคโตซาน pH และปริมาณโคโตซาน ต่อเปอร์เซ็นต์การลดลง  
ของของแข็งแขวนลอยของน้ำทิ้งจากกระบวนการผลิตเต้าหู้แข็ง

| Source       | DF  | SS      | MS     | F       | Pr>F    |
|--------------|-----|---------|--------|---------|---------|
| Treatment    | 53  | 4860.39 | 91.71  | 875.44  | 0.0001* |
| DD           | 2   | 731.28  | 365.64 | 3490.50 | 0.0001* |
| pH           | 2   | 136.27  | 68.14  | 650.45  | 0.0001* |
| Dosage       | 5   | 2426.27 | 485.25 | 4632.35 | 0.0001* |
| DD*pH        | 4   | 370.17  | 92.54  | 883.44  | 0.0001* |
| DD*Dosage    | 10  | 381.74  | 38.17  | 364.42  | 0.0001* |
| pH*Dosage    | 10  | 281.91  | 28.19  | 269.12  | 0.0001* |
| DD*pH*Dosage | 20  | 532.74  | 26.64  | 254.28  | 0.0001* |
| Error        | 108 | 11.31   | 0.10   |         |         |
| Total        | 161 | 4871.70 |        |         |         |

\* หมายถึง มีความแตกต่างอย่างมีนัยสำคัญทางสถิติ ( $p < 0.05$ )

ตารางภาคผนวก ๑-6 ผลการวิเคราะห์ ความแปรปรวน ของปัจจัยต่าง ๆ ได้แก่ ระดับการกำจัด  
หมู่ละอิดลของโคโตซาน pH และปริมาณโคโตซาน ต่อการลดลงของของแข็ง  
ละลายได้ทั้งหมดของน้ำทิ้งจากกระบวนการผลิตเต้าหู้แข็ง

| Source       | DF  | SS        | MS       | F        | Pr>F    |
|--------------|-----|-----------|----------|----------|---------|
| Treatment    | 53  | 185.21    | 3.49446  | 87328.54 | 0.0001* |
| DD           | 2   | 4.41177   | 2.20589  | 55126.32 | 0.0001* |
| pH           | 2   | 133.82845 | 66.91423 | 99999.99 | 0.0001* |
| Dosage       | 5   | 28.48241  | 5.69648  | 99999.99 | 0.0001* |
| DD*pH        | 4   | 7.74700   | 1.93675  | 48400.46 | 0.0001* |
| DD*Dosage    | 10  | 2.68020   | 0.26802  | 6697.97  | 0.0001* |
| pH*Dosage    | 10  | 4.21675   | 0.42168  | 10537.90 | 0.0001* |
| DD*pH*Dosage | 20  | 3.83991   | 0.19200  | 4798.08  | 0.0001* |
| Error        | 108 | 0.00432   | 0.00004  |          |         |
| Total        | 161 | 185.21082 |          |          |         |

\* หมายถึง มีความแตกต่างอย่างมีนัยสำคัญทางสถิติ ( $p < 0.05$ )

ตารางภาคผนวก จ-7 ผลการวิเคราะห์ ความแปรปรวน ของปัจจัยต่าง ๆ ได้แก่ ระดับการกำจัด  
หมู่ละอิติลของโคโตซาน pH และปริมาณโคโตซาน ต่อเปอร์เซ็นต์การลดลง  
ของของแข็งละลายได้ทั้งหมดของน้ำทิ้งจากกระบวนการผลิตเต้าหู้แข็ง

| Source       | DF  | SS       | MS       | F        | Pr>F    |
|--------------|-----|----------|----------|----------|---------|
| Treatment    | 53  | 9631.103 | 181.7189 | 40326.66 | 0.0001* |
| DD           | 2   | 732.268  | 366.134  | 81251.67 | 0.0001* |
| pH           | 2   | 2819.010 | 1409.505 | 99999.99 | 0.0001* |
| Dosage       | 5   | 3558.786 | 711.757  | 99999.99 | 0.0001* |
| DD*pH        | 4   | 1185.488 | 296.372  | 65770.23 | 0.0001* |
| DD*Dosage    | 10  | 378.040  | 37.804   | 8389.38  | 0.0001* |
| pH*Dosage    | 10  | 441.249  | 44.125   | 9792.10  | 0.0001* |
| DD*pH*Dosage | 20  | 516.261  | 25.813   | 5728.38  | 0.0001* |
| Error        | 108 | 0.487    | 0.005    |          |         |
| Total        | 161 | 9631.589 |          |          |         |

\* หมายถึง มีความแตกต่างอย่างมีนัยสำคัญทางสถิติ ( $p < 0.05$ )

ตารางภาคผนวก จ-8 ผลการวิเคราะห์ ความแปรปรวน ของปัจจัยต่าง ๆ ได้แก่ ระดับการกำจัด  
หมู่ละอิติลของโคโตซาน pH และปริมาณโคโตซาน ต่อการลดลงของ  
ของแข็งทั้งหมดของน้ำทิ้งจากกระบวนการผลิตเต้าหู้แข็ง

| Source       | DF  | SS       | MS      | F        | Pr>F    |
|--------------|-----|----------|---------|----------|---------|
| Treatment    | 53  | 29362.06 | 554.00  | 2398.92  | 0.0001* |
| DD           | 2   | 4863.56  | 2431.78 | 10530.01 | 0.0001* |
| pH           | 2   | 1825.73  | 912.87  | 3952.86  | 0.0001* |
| Dosage       | 5   | 14083.92 | 2816.78 | 12197.14 | 0.0001* |
| DD*pH        | 4   | 2243.05  | 560.76  | 2428.19  | 0.0001* |
| DD*Dosage    | 10  | 2095.75  | 209.57  | 907.49   | 0.0001* |
| pH*Dosage    | 10  | 1394.81  | 139.48  | 603.98   | 0.0001* |
| DD*pH*Dosage | 20  | 2855.24  | 142.76  | 618.18   | 0.0001* |
| Error        | 108 | 24.94    | 0.23    |          |         |
| Total        | 161 | 29387.00 |         |          |         |

\* หมายถึง มีความแตกต่างอย่างมีนัยสำคัญทางสถิติ ( $p < 0.05$ )

ตารางภาคผนวก จ-9 ผลการวิเคราะห์ ความแปรปรวน ของปัจจัยต่าง ๆ ได้แก่ ระดับการกำจัด  
หมู่อะซิติลของโคโคซาน pH และปริมาณโคโคซาน ต่อเปอร์เซ็นต์การลดลง  
ของของแข็งทั้งหมดของน้ำทิ้งจากกระบวนการผลิตเต้าหู้แข็ง

| Source       | DF  | SS      | MS     | F       | Pr>F    |
|--------------|-----|---------|--------|---------|---------|
| Treatment    | 53  | 4764.00 | 89.89  | 604.72  | 0.0001* |
| DD           | 2   | 689.16  | 344.58 | 2318.20 | 0.0001* |
| pH           | 2   | 151.35  | 75.67  | 509.10  | 0.0001* |
| Dosage       | 5   | 2388.05 | 477.61 | 3213.16 | 0.0001* |
| DD*pH        | 4   | 396.63  | 99.16  | 667.09  | 0.0001* |
| DD*Dosage    | 10  | 359.91  | 35.99  | 242.13  | 0.0001* |
| pH*Dosage    | 10  | 278.69  | 27.87  | 187.49  | 0.0001* |
| DD*pH*Dosage | 20  | 500.21  | 25.01  | 168.26  | 0.0001* |
| Error        | 108 | 16.05   | 0.15   |         |         |
| Total        | 161 | 4780.05 |        |         |         |

\* หมายถึง มีความแตกต่างอย่างมีนัยสำคัญทางสถิติ ( $p < 0.05$ )

ตารางภาคผนวก จ-10 ผลการวิเคราะห์ ความแปรปรวน ของปัจจัยต่าง ๆ ได้แก่ ระดับการกำจัด  
หมู่อะซิติลของโคโคซาน pH และปริมาณโคโคซาน ต่อการลดลงปริมาณ  
โปรตีนของน้ำทิ้งจากกระบวนการผลิตเต้าหู้แข็ง

| Source       | DF  | SS     | MS     | F       | Pr>F    |
|--------------|-----|--------|--------|---------|---------|
| Treatment    | 53  | 1.8326 | 0.0308 | 466.71  | 0.0001* |
| DD           | 2   | 0.0342 | 0.0171 | 259.10  | 0.0001* |
| pH           | 2   | 0.5072 | 0.2536 | 3842.41 | 0.0001* |
| Dosage       | 5   | 0.5698 | 0.1140 | 1726.64 | 0.0001* |
| DD*pH        | 4   | 0.0584 | 0.0146 | 221.07  | 0.0001* |
| DD*Dosage    | 10  | 0.0986 | 0.0099 | 149.43  | 0.0001* |
| pH*Dosage    | 10  | 0.1974 | 0.0197 | 298.99  | 0.0001* |
| DD*pH*Dosage | 20  | 0.1670 | 0.0084 | 126.53  | 0.0001* |
| Error        | 108 | 0.0071 | 0.0001 |         |         |
| Total        | 161 | 1.6398 |        |         |         |

\* หมายถึง มีความแตกต่างอย่างมีนัยสำคัญทางสถิติ ( $p < 0.05$ )

ตารางภาคผนวก จ-11 ผลการวิเคราะห์ ความแปรปรวน ของปัจจัยต่าง ๆ ได้แก่ ระดับการกำจัด หมู่อะซิติกของโคโคซาน pH และปริมาณโคโคซาน ต่อเปอร์เซ็นต์การลดลง ปริมาณ ไปรตีนของน้ำทิ้งจากกระบวนการผลิตเต้าหู้แข็ง

| Source       | DF  | SS       | MS      | F       | Pr>F    |
|--------------|-----|----------|---------|---------|---------|
| Treatment    | 53  | 30094.02 | 567.81  | 622.11  | 0.0001* |
| DD           | 2   | 1099.06  | 549.53  | 602.08  | 0.0001* |
| pH           | 2   | 7416.54  | 3708.27 | 4062.89 | 0.0001* |
| Dosage       | 5   | 10613.65 | 2122.73 | 2325.73 | 0.0001* |
| DD*pH        | 4   | 2293.34  | 573.33  | 628.16  | 0.0001* |
| DD*Dosage    | 10  | 1820.56  | 182.06  | 170.66  | 0.0001* |
| pH*Dosage    | 10  | 3735.61  | 373.56  | 409.29  | 0.0001* |
| DD*pH*Dosage | 20  | 3115.26  | 155.76  | 199.47  | 0.0001* |
| Error        | 108 | 98.57    | 0.91    |         |         |
| Total        | 161 | 30192.59 |         |         |         |

\* หมายถึง มีความแตกต่างอย่างมีนัยสำคัญทางสถิติ ( $p < 0.05$ )

ตารางภาคผนวก จ-12 ผลการวิเคราะห์ความแปรปรวนของระดับการกำจัดหมู่อะซิติกของ โคโคซาน ต่อการลดลงปริมาณโปรตีนของส่วนตะกอนของน้ำทิ้ง จากกระบวนการผลิตเต้าหู้แข็ง

| Source    | DF | SS   | MS   | F     | Pr>F    |
|-----------|----|------|------|-------|---------|
| Treatment | 2  | 8.34 | 4.17 | 51.64 | 0.0002* |
| Error     | 6  | 0.48 | 0.08 |       |         |
| Total     | 8  | 8.82 |      |       |         |

\* หมายถึง มีความแตกต่างอย่างมีนัยสำคัญทางสถิติ ( $p < 0.05$ )

ตารางภาคผนวก จ-13 ผลการวิเคราะห์ความแปรปรวนของระดับการกำจัดหมู่อะซิติกของ โคโคซาน ต่อการลดลงปริมาณเถ้าของส่วนตะกอนของน้ำทิ้ง จากกระบวนการผลิตเต้าหู้แข็ง

| Source    | DF | SS   | MS   | F      | Pr>F    |
|-----------|----|------|------|--------|---------|
| Treatment | 2  | 2.77 | 1.39 | 135.15 | 0.0001* |
| Error     | 6  | 0.06 | 0.01 |        |         |
| Total     | 8  | 2.84 |      |        |         |

\* หมายถึง มีความแตกต่างอย่างมีนัยสำคัญทางสถิติ ( $p < 0.05$ )

ตารางภาคผนวก จ-14 ผลการวิเคราะห์ ความแปรปรวน ของปัจจัยต่าง ๆ ได้แก่ น้ำหนักโมเลกุล ไคโตซาน pH และปริมาณไคโตซาน ต่อ การลดลงของความชุ่มชื้นของ น้ำทิ้งจากกระบวนการผลิตเต้าหู้แข็ง

| Source       | DF  | SS        | MS       | F        | Pr>F    |
|--------------|-----|-----------|----------|----------|---------|
| Treatment    | 53  | 347093.29 | 6548.93  | 1733.88  | 0.0001* |
| DD           | 2   | 16209.96  | 8104.98  | 2145.86  | 0.0001* |
| pH           | 2   | 31986.32  | 15993.16 | 4234.31  | 0.0001* |
| Dosage       | 5   | 206102.26 | 41220.45 | 10913.44 | 0.0001* |
| DD*pH        | 4   | 34365.46  | 8591.36  | 2274.63  | 0.0001* |
| DD*Dosage    | 10  | 14297.32  | 1429.73  | 378.53   | 0.0001* |
| pH*Dosage    | 10  | 7110.54   | 711.05   | 188.26   | 0.0001* |
| DD*pH*Dosage | 20  | 37021.41  | 1851.07  | 490.09   | 0.0001* |
| Error        | 108 | 407.92    | 3.77     |          |         |
| Total        | 161 | 347501.21 |          |          |         |

\* หมายถึง มีความแตกต่างอย่างมีนัยสำคัญทางสถิติ ( $p < 0.05$ )

ตารางภาคผนวก จ-15 ผลการวิเคราะห์ ความแปรปรวน ของปัจจัยต่าง ๆ ได้แก่ น้ำหนักโมเลกุล ไคโตซาน pH และปริมาณไคโตซาน ต่อเปอร์เซ็นต์การลดลงของความชุ่มชื้นของน้ำทิ้งจากกระบวนการผลิตเต้าหู้แข็ง

| Source       | DF  | SS      | MS     | F       | Pr>F    |
|--------------|-----|---------|--------|---------|---------|
| Treatment    | 53  | 5173.29 | 97.60  | 718.76  | 0.0001* |
| DD           | 2   | 211.12  | 105.56 | 777.32  | 0.0001* |
| pH           | 2   | 189.86  | 94.93  | 699.05  | 0.0001* |
| Dosage       | 5   | 3242.10 | 648.42 | 4774.74 | 0.0001* |
| DD*pH        | 4   | 586.91  | 146.72 | 1080.45 | 0.0001* |
| DD*Dosage    | 10  | 227.17  | 22.71  | 167.28  | 0.0001* |
| pH*Dosage    | 10  | 123.76  | 12.37  | 91.14   | 0.0001* |
| DD*pH*Dosage | 20  | 592.34  | 29.61  | 218.09  | 0.0001* |
| Error        | 108 | 14.66   | 0.13   |         |         |
| Total        | 161 | 5187.95 |        |         |         |

\* หมายถึง มีความแตกต่างอย่างมีนัยสำคัญทางสถิติ ( $p < 0.05$ )

ตารางภาคผนวก จ-16 ผลการวิเคราะห์ ความแปรปรวน ของปัจจัยต่าง ๆ ได้แก่ น้ำหนักโมเลกุล ไคโตซาน pH และปริมาณไคโตซาน ต่ออัตราการลดลงของความขุ่น ของน้ำทิ้งจากระบวนการผลิตเต้าหู้แข็ง

| Source       | DF  | SS         | MS         | F       | Pr>F    |
|--------------|-----|------------|------------|---------|---------|
| Treatment    | 53  | 0.00034460 | 0.00000650 | 419.65  | 0.0001* |
| DD           | 2   | 0.00001127 | 0.00000564 | 363.84  | 0.0001* |
| pH           | 2   | 0.00010212 | 0.00005106 | 3295.41 | 0.0001* |
| Dosage       | 5   | 0.00005264 | 0.00001053 | 679.52  | 0.0001* |
| DD*pH        | 4   | 0.00004357 | 0.00001089 | 703.02  | 0.0001* |
| DD*Dosage    | 10  | 0.00004245 | 0.00000424 | 273.96  | 0.0001* |
| pH*Dosage    | 10  | 0.00004734 | 0.00000473 | 305.55  | 0.0001* |
| DD*pH*Dosage | 20  | 0.00004621 | 0.00000226 | 145.91  | 0.0001* |
| Error        | 108 | 0.00000167 | 0.00000002 |         |         |
| Total        | 161 | 0.00034628 |            |         |         |

\* หมายถึง มีความแตกต่างอย่างมีนัยสำคัญทางสถิติ ( $p < 0.05$ )

ตารางภาคผนวก จ-17 ผลการวิเคราะห์ ความแปรปรวน ของปัจจัยต่าง ๆ ได้แก่ น้ำหนักโมเลกุล ไคโตซาน pH และปริมาณไคโตซาน ต่อการลดลงของของแข็งแขวนลอย ของน้ำทิ้งจากระบวนการผลิตเต้าหู้แข็ง

| Source       | DF  | SS       | MS      | F        | Pr>F    |
|--------------|-----|----------|---------|----------|---------|
| Treatment    | 53  | 26961.45 | 508.70  | 1613.49  | 0.0001* |
| DD           | 2   | 2425.32  | 1212.66 | 3846.26  | 0.0001* |
| pH           | 2   | 3666.60  | 1833.30 | 5814.77  | 0.0001* |
| Dosage       | 5   | 16794.54 | 3358.90 | 10653.62 | 0.0001* |
| DD*pH        | 4   | 214.44   | 53.61   | 170.04   | 0.0001* |
| DD*Dosage    | 10  | 2369.27  | 236.92  | 751.47   | 0.0001* |
| pH*Dosage    | 10  | 890.97   | 89.09   | 282.60   | 0.0001* |
| DD*pH*Dosage | 20  | 600.28   | 30.01   | 95.20    | 0.0001* |
| Error        | 108 | 34.05    | 0.31    |          |         |
| Total        | 161 | 26995.50 |         |          |         |

\* หมายถึง มีความแตกต่างอย่างมีนัยสำคัญทางสถิติ ( $p < 0.05$ )

ตารางภาคผนวก จ-18 ผลการวิเคราะห์ ความแปรปรวน ของปัจจัยต่าง ๆ ได้แก่ น้ำหนักโมเลกุล ไคโตซาน pH และปริมาณไคโตซาน ต่อเปอร์เซ็นต์การลดลงของของแข็งแขวนลอยของน้ำทิ้งจากกระบวนการผลิตเต้าหู้แข็ง

| Source       | DF  | SS      | MS     | F       | Pr>F    |
|--------------|-----|---------|--------|---------|---------|
| Treatment    | 53  | 4748.51 | 89.59  | 1333.85 | 0.0001* |
| DD           | 2   | 503.18  | 251.59 | 3745.85 | 0.0001* |
| pH           | 2   | 388.79  | 194.39 | 2894.16 | 0.0001* |
| Dosage       | 5   | 3076.98 | 615.39 | 9161.80 | 0.0001* |
| DD*pH        | 4   | 82.57   | 20.64  | 307.35  | 0.0001* |
| DD*Dosage    | 10  | 452.40  | 45.24  | 673.52  | 0.0001* |
| pH*Dosage    | 10  | 140.47  | 14.04  | 209.13  | 0.0001* |
| DD*pH*Dosage | 20  | 104.09  | 5.20   | 77.48   | 0.0001* |
| Error        | 108 | 7.25    | 0.06   |         |         |
| Total        | 161 | 4755.76 |        |         |         |

\* หมายถึง มีความแตกต่างอย่างมีนัยสำคัญทางสถิติ ( $p < 0.05$ )

ตารางภาคผนวก จ-19 ผลการวิเคราะห์ ความแปรปรวน ของปัจจัยต่าง ๆ ได้แก่ น้ำหนักโมเลกุล ไคโตซาน pH และปริมาณไคโตซาน ต่อการลดลงของของแข็งละลายได้ทั้งหมดของน้ำทิ้งจากกระบวนการผลิตเต้าหู้แข็ง

| Source       | DF  | SS           | MS          | F        | Pr>F    |
|--------------|-----|--------------|-------------|----------|---------|
| Treatment    | 53  | 258.88285323 | 4.88458214  | 92237.13 | 0.0001* |
| DD           | 2   | 3.49379386   | 1.74689693  | 32987.21 | 0.0001* |
| pH           | 2   | 186.58803231 | 93.29401615 | 99999.99 | 0.0001* |
| Dosage       | 5   | 60.27295909  | 12.05459182 | 99999.99 | 0.0001* |
| DD*pH        | 4   | 0.38255640   | 0.09563910  | 1805.98  | 0.0001* |
| DD*Dosage    | 10  | 0.90478940   | 0.09047894  | 1708.54  | 0.0001* |
| pH*Dosage    | 10  | 5.78417295   | 0.57841730  | 10922.44 | 0.0001* |
| DD*pH*Dosage | 20  | 1.45654923   | 0.07282746  | 1375.22  | 0.0001* |
| Error        | 108 | 0.00571933   | 0.00005296  |          |         |
| Total        | 161 | 258.88857257 |             |          |         |

\* หมายถึง มีความแตกต่างอย่างมีนัยสำคัญทางสถิติ ( $p < 0.05$ )

ตารางภาคผนวก จ-20 ผลการวิเคราะห์ ความแปรปรวน ของปัจจัยต่าง ๆ ได้แก่ น้ำหนักโมเลกุล ไคโตซาน pH และปริมาณไคโตซาน ต่อเปอร์เซ็นต์การลดลงของของแข็ง ละลายได้ทั้งหมดของน้ำทิ้งจากกระบวนการผลิตเต้าหู้แข็ง

| Source       | DF  | SS       | MS       | F        | Pr>F    |
|--------------|-----|----------|----------|----------|---------|
| Treatment    | 53  | 15883.03 | 299.67   | 35784.00 | 0.0001* |
| DD           | 2   | 578.04   | 289.02   | 34511.48 | 0.0001* |
| pH           | 2   | 5833.36  | 2916.68  | 99999.99 | 0.0001* |
| Dosage       | 5   | 8190.22  | 1638.045 | 99999.99 | 0.0001* |
| DD*pH        | 4   | 46.84    | 11.71    | 1398.53  | 0.0001* |
| DD*Dosage    | 10  | 129.24   | 12.92    | 1543.32  | 0.0001* |
| pH*Dosage    | 10  | 891.85   | 89.18    | 10649.45 | 0.0001* |
| DD*pH*Dosage | 20  | 213.44   | 10.67    | 1274.32  | 0.0001* |
| Error        | 108 | 0.90     | 0.01     |          |         |
| Total        | 161 | 15883.94 |          |          |         |

\* หมายถึง มีความแตกต่างอย่างมีนัยสำคัญทางสถิติ ( $p < 0.05$ )

ตารางภาคผนวก จ-21 ผลการวิเคราะห์ ความแปรปรวน ของปัจจัยต่าง ๆ ได้แก่ น้ำหนักโมเลกุล ไคโตซาน pH และปริมาณไคโตซาน ต่อการลดลงของของแข็งทั้งหมด ของน้ำทิ้งจากกระบวนการผลิตเต้าหู้แข็ง

| Source       | DF  | SS       | MS      | F        | Pr>F    |
|--------------|-----|----------|---------|----------|---------|
| Treatment    | 53  | 29515.01 | 556.88  | 1762.92  | 0.0001* |
| DD           | 2   | 2589.90  | 1294.95 | 4099.39  | 0.0001* |
| pH           | 2   | 4903.13  | 2451.56 | 7760.84  | 0.0001* |
| Dosage       | 5   | 17826.38 | 3565.27 | 11286.47 | 0.0001* |
| DD*pH        | 4   | 300.20   | 75.05   | 237.59   | 0.0001* |
| DD*Dosage    | 10  | 2388.28  | 238.82  | 756.05   | 0.0001* |
| pH*Dosage    | 10  | 885.73   | 88.57   | 280.39   | 0.0001* |
| DD*pH*Dosage | 20  | 621.36   | 31.06   | 98.35    | 0.0001* |
| Error        | 108 | 34.11    | 0.31    |          |         |
| Total        | 161 | 29549.13 |         |          |         |

\* หมายถึง มีความแตกต่างอย่างมีนัยสำคัญทางสถิติ ( $p < 0.05$ )

ตารางภาคผนวก จ-22 ผลการวิเคราะห์ ความแปรปรวน ของปัจจัยต่าง ๆ ได้แก่ น้ำหนักโมเลกุล ไคโตซาน pH และปริมาณไคโตซาน ต่อเปอร์เซ็นต์การลดลงของของแข็ง ทั้งหมดของน้ำทิ้งจากกระบวนการผลิตเต้าหู้แข็ง

| Source       | DF  | SS      | MS     | F       | Pr>F    |
|--------------|-----|---------|--------|---------|---------|
| Treatment    | 53  | 4824.08 | 91.02  | 1365.13 | 0.0001* |
| DD           | 2   | 519.75  | 259.87 | 3697.66 | 0.0001* |
| pH           | 2   | 493.81  | 246.90 | 3703.11 | 0.0001* |
| Dosage       | 5   | 3054.68 | 610.93 | 9162.87 | 0.0001* |
| DD*pH        | 4   | 95.54   | 23.88  | 358.24  | 0.0001* |
| DD*Dosage    | 10  | 425.46  | 42.54  | 638.12  | 0.0001* |
| pH*Dosage    | 10  | 138.01  | 13.80  | 206.99  | 0.0001* |
| DD*pH*Dosage | 20  | 96.81   | 4.84   | 72.60   | 0.0001* |
| Error        | 108 | 7.20    | 0.06   |         |         |
| Total        | 161 | 4831.28 |        |         |         |

\* หมายถึง มีความแตกต่างอย่างมีนัยสำคัญทางสถิติ ( $p < 0.05$ )

ตารางภาคผนวก จ-23 ผลการวิเคราะห์ ความแปรปรวน ของปัจจัยต่าง ๆ ได้แก่ น้ำหนักโมเลกุล ไคโตซาน pH และปริมาณไคโตซาน ต่อการลดลงปริมาณโปรตีนของ น้ำทิ้งจากกระบวนการผลิตเต้าหู้แข็ง

| Source       | DF  | SS         | MS         | F        | Pr>F    |
|--------------|-----|------------|------------|----------|---------|
| Treatment    | 53  | 4.11583175 | 0.07765720 | 2438.07  | 0.0001* |
| DD           | 2   | 0.19684609 | 0.09842304 | 3090.03  | 0.0001* |
| pH           | 2   | 1.93227416 | 0.96613708 | 30332.21 | 0.0001* |
| Dosage       | 5   | 1.56183642 | 0.31236728 | 9806.88  | 0.0001* |
| DD*pH        | 4   | 0.01089651 | 0.00272413 | 85.52    | 0.0001* |
| DD*Dosage    | 10  | 0.01606260 | 0.00324537 | 101.89   | 0.0001* |
| pH*Dosage    | 10  | 0.36546228 | 0.03654623 | 1147.38  | 0.0001* |
| DD*pH*Dosage | 20  | 0.03245369 | 0.00080313 | 25.21    | 0.0001* |
| Error        | 108 | 0.00344000 | 0.00003185 |          |         |
| Total        | 161 | 4.11927175 |            |          |         |

\* หมายถึง มีความแตกต่างอย่างมีนัยสำคัญทางสถิติ ( $p < 0.05$ )

ตารางภาคผนวก จ-24 ผลการวิเคราะห์ ความแปรปรวน ของปัจจัยต่าง ๆ ได้แก่ น้ำหนักโมเลกุล  
ไคโตซาน pH และปริมาณไคโตซาน ต่อเปอร์เซ็นต์การลดปริมาณ  
โปรตีนของน้ำทิ้งจากกระบวนการผลิตเต้าหู้แข็ง

| Source       | DF  | SS       | MS       | F        | Pr>F    |
|--------------|-----|----------|----------|----------|---------|
| Treatment    | 53  | 74164.27 | 1399.32  | 1201.80  | 0.0001* |
| DD           | 2   | 2227.50  | 1113.75  | 956.54   | 0.0001* |
| pH           | 2   | 33868.52 | 16934.26 | 14543.86 | 0.0001* |
| Dosage       | 5   | 28561.09 | 5712.219 | 4905.90  | 0.0001* |
| DD*pH        | 4   | 1587.63  | 396.90   | 340.88   | 0.0001* |
| DD*Dosage    | 10  | 807.77   | 80.77    | 69.38    | 0.0001* |
| pH*Dosage    | 10  | 6678.57  | 667.85   | 573.58   | 0.0001* |
| DD*pH*Dosage | 20  | 433.16   | 21.65    | 18.60    | 0.0001* |
| Error        | 108 | 125.75   | 1.16     |          |         |
| Total        | 161 | 74290.02 |          |          |         |

\* หมายถึง มีความแตกต่างอย่างมีนัยสำคัญทางสถิติ ( $p < 0.05$ )

ตารางภาคผนวก จ-25 ผลการวิเคราะห์ความแปรปรวนของน้ำหนักโมเลกุลของไคโตซานต่อการ  
ลดลง ปริมาณโปรตีนของส่วนตะกอนของน้ำทิ้งจากกระบวนการ  
ผลิตเต้าหู้แข็ง

| Source    | DF | SS    | MS   | F     | Pr>F    |
|-----------|----|-------|------|-------|---------|
| Treatment | 2  | 11.67 | 5.83 | 52.54 | 0.0002* |
| Error     | 6  | 0.67  | 0.11 |       |         |
| Total     | 8  | 12.33 |      |       |         |

\* หมายถึง มีความแตกต่างอย่างมีนัยสำคัญทางสถิติ ( $p < 0.05$ )

ตารางภาคผนวก จ-26 ผลการวิเคราะห์ความแปรปรวนของน้ำหนักโมเลกุลของไคโตซานต่อการ  
ลดลงปริมาณเถ้าของส่วนตะกอนของน้ำทิ้งจากกระบวนการผลิตเต้าหู้แข็ง

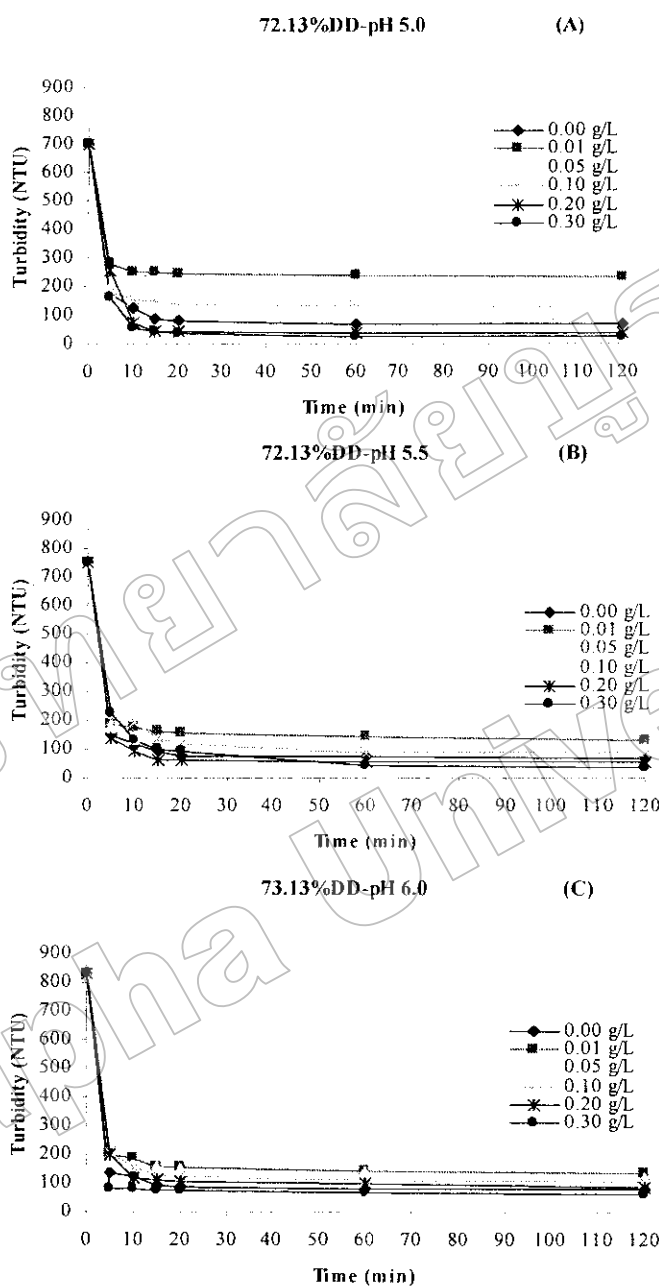
| Source    | DF | SS   | MS   | F      | Pr>F    |
|-----------|----|------|------|--------|---------|
| Treatment | 2  | 2.06 | 1.03 | 217.99 | 0.0001* |
| Error     | 6  | 0.03 | 0.01 |        |         |
| Total     | 8  | 2.09 |      |        |         |

\* หมายถึง มีความแตกต่างอย่างมีนัยสำคัญทางสถิติ ( $p < 0.05$ )

## ภาคผนวก จ

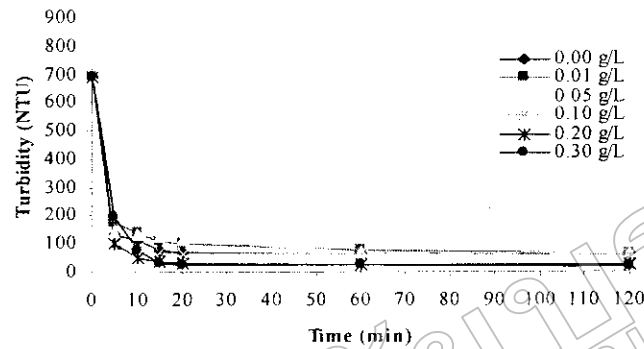
### ข้อมูลกราฟ

ผลของระดับการกำจัดหมู่อะซิติกของโคโคซาน ( $72.13 \pm 4.40$ ,  $79.55 \pm 1.90$  และ  $82.60 \pm 3.85$  เปอร์เซ็นต์) pH (5.0 5.5 และ 6.0) และปริมาณโคโคซาน (0.00, 0.01, 0.05, 0.10, 0.20 และ 0.30 กรัมต่อลิตร) ต่อความชื้นของน้ำทิ้งจากกระบวนการผลิตเต้าหู้แข็งในช่วง 0-120 นาที แสดงได้ดังภาพภาคผนวก จ-1 (ระดับการกำจัดหมู่อะซิติก  $72.13$  เปอร์เซ็นต์) ภาพภาคผนวก จ-2 (ระดับการกำจัดหมู่อะซิติก  $79.55$  เปอร์เซ็นต์) และ ภาพภาคผนวก จ-3 (ระดับการกำจัดหมู่อะซิติก  $82.60$  เปอร์เซ็นต์) ตามลำดับ

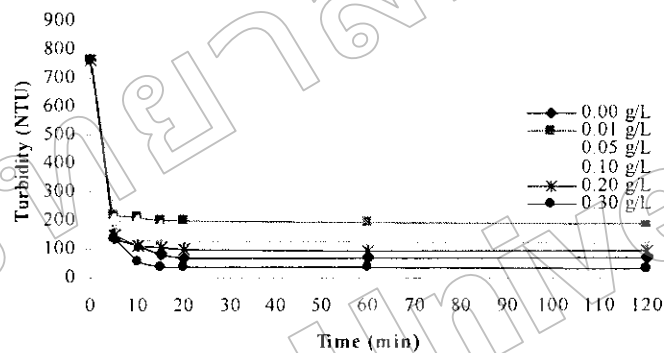


ภาพภาคผนวก ฉ-1 ผลของระดับการกำจัดหมู่ซิติลของโคโตซาน (72.13 เปอร์เซ็นต์) pH (A: pH 5.0, B: pH 5.5 และ C: pH 6.0) และปริมาณโคโตซาน (0.00, 0.01, 0.05, 0.10, 0.20 และ 0.30 กรัมต่อลิตร) ต่อความขุ่นของน้ำทิ้งจากกระบวนการผลิตเต้าหู้แข็งในช่วง 0-120 นาที

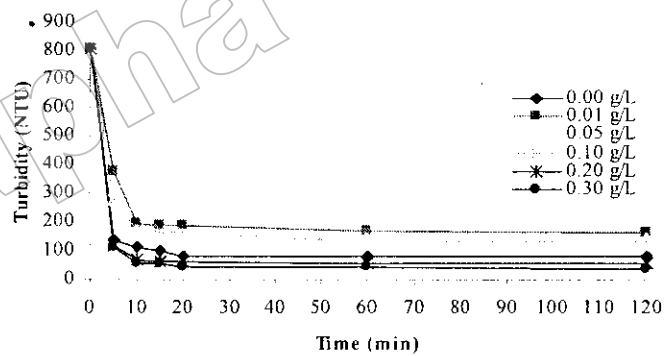
79.55%DD-pH 5.0 (A)



79.55%DD-pH 5.5 (B)



79.55%DD-pH 6.0 (C)



ภาพภาคผนวก ข-2 ผลของระดับการกำจัดหมู่อะซีติลของโคโคซาน (79.55 เปอร์เซ็นต์) pH (A: pH 5.0, B: pH 5.5 และ C: pH 6.0) และปริมาณโคโคซาน (0.00, 0.01, 0.05, 0.10, 0.20 และ 0.30 กรัมต่อลิตร) ต่อความขุ่นของน้ำทิ้งจากกระบวนการผลิตเต้าหู้แข็งในช่วง 0-120 นาที